



# 流固耦合地震波动谱元模拟方法

李鸿晶 南京工业大学工程力学研究所 ☆ 2022年12月29日 ☆ 线上报告

Email: [hjing@njtech.edu.cn](mailto:hjing@njtech.edu.cn) ☆ Tel: 13851488284



2010: 生命线地震工程的若干研究进展及NJUT发展方向

2011: 近场波动数值模拟高效计算技术

2012: 平稳地震地面运动的功率谱模型

2013: 足尺埋地管线原位模拟断层试验研究

2014: 未参加

2015: 混凝土曲线梁桥地震倒塌数值模拟分析

2016: 近场波动数值模拟中的人工边界问题

2017: 高精度方法及其在地震工程中的应用

2018: 动力问题的时空DC法

2021: 高精度近场波动数值模拟方法中的几个问题

2022: 流固耦合地震波动谱元模拟方法



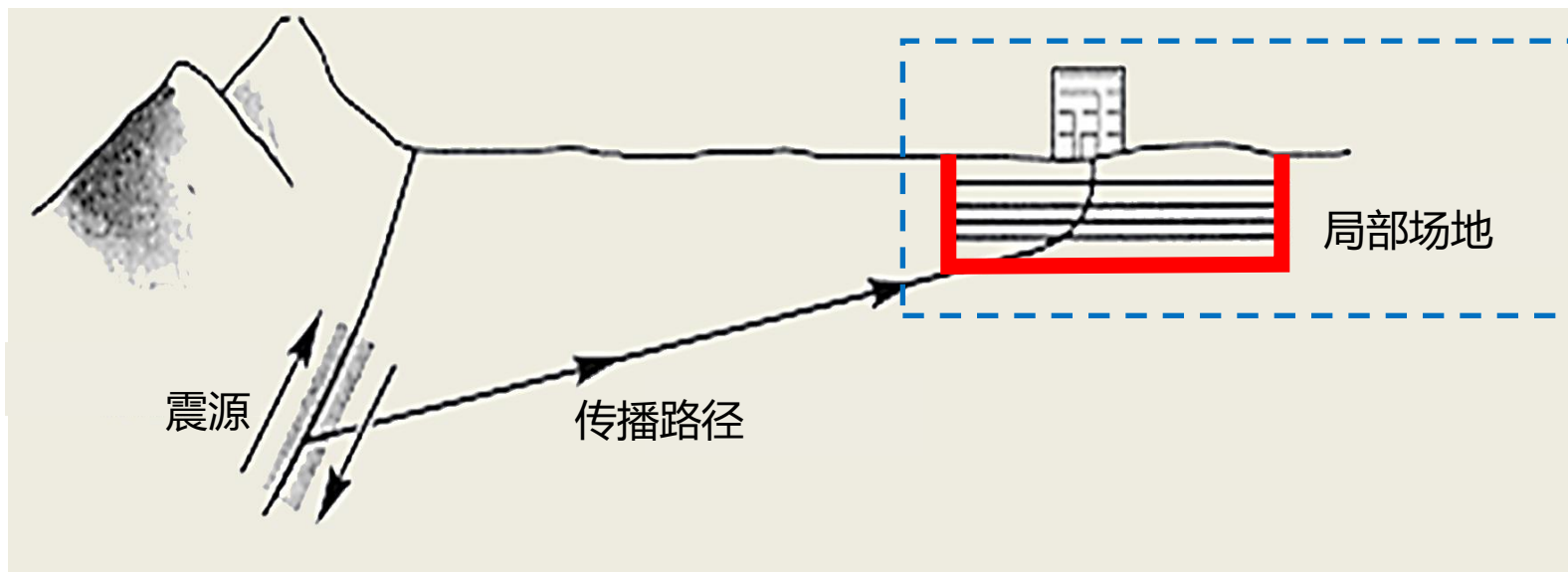
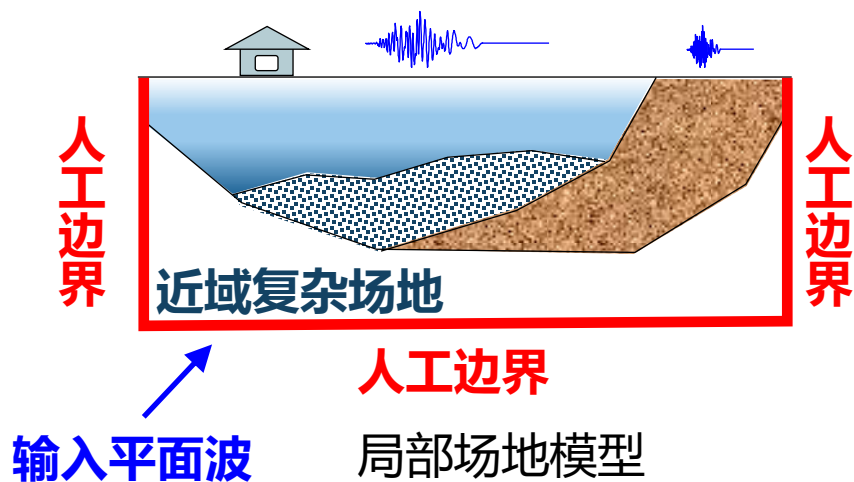
南京工业大学  
NANJING UNIVERSITY OF TECHNOLOGY

## 目录 | CONTENT

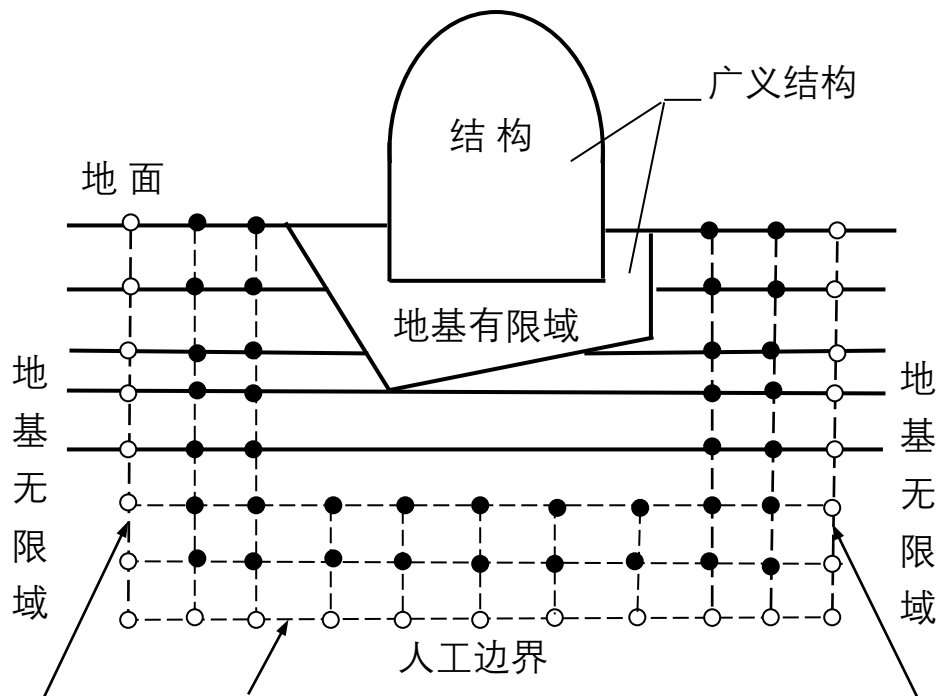
- 1** 流固耦合地震波动问题
- 2** 统一计算框架及其谱元格式
- 3** 人工边界条件
- 4** 高阶精确时步群时间积分算法

## 两步分析法:

1. 预测场地地震动;
2. 开展结构地震响应分析。



- **波动本质**：结构-地基系统动态反应在本质上是振动的传播。
- **近场波动**：仅关心波源或散射源附近介质中的波动。
- **开放系统**：近场介质与外围介质之间存在能量交换。



- **数值模拟方法**：将连续问题转变为离散问题。

目标：在保证数值精度和稳定性的前提下，努力提高计算效率！

## 核心问题：计算效率

### 途径一

- 提升计算设备能力;
- 采用并行计算技术。。。

本质上默认现行方法计算工作量  
(治标的途径)

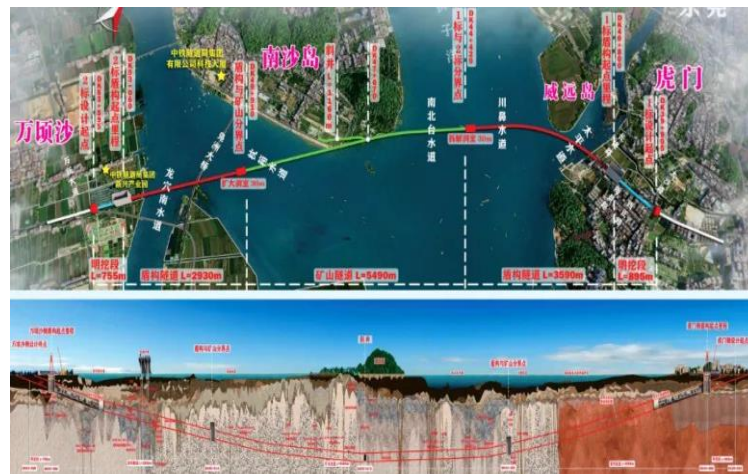
### 途径二

- 应用高精度数值方法;
- 研发高效率数值算法。。。

寻求能够减小计算工作量的新方法  
(治本途径)



□ 跨江/海大桥



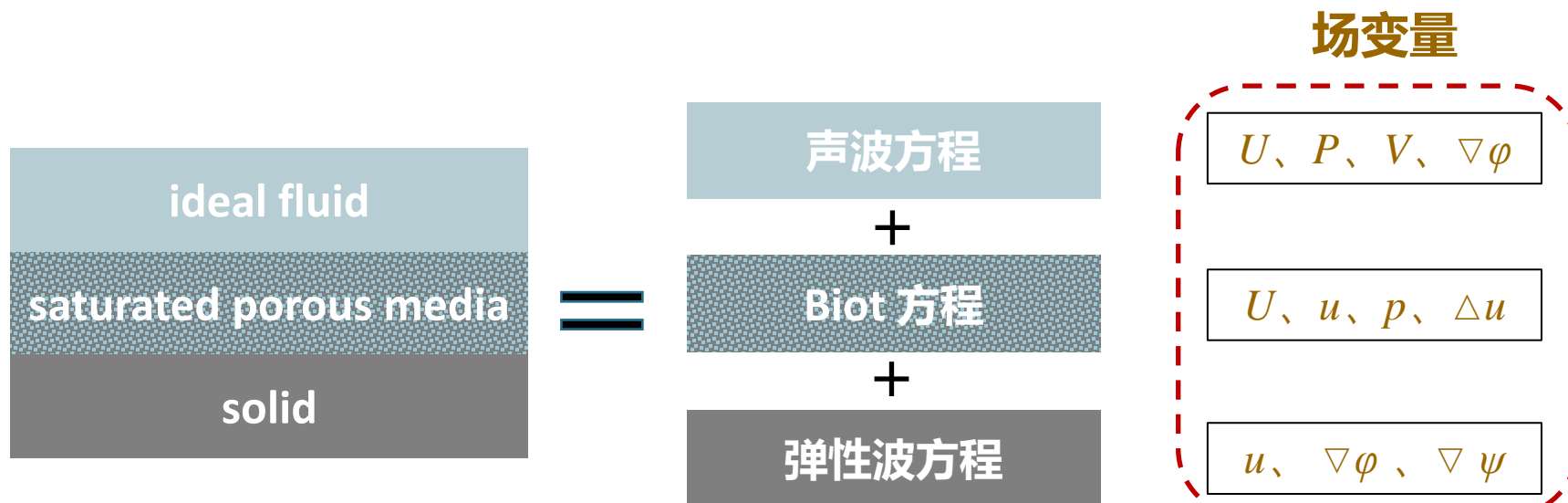
□ 过江隧道



□ 沿海建设



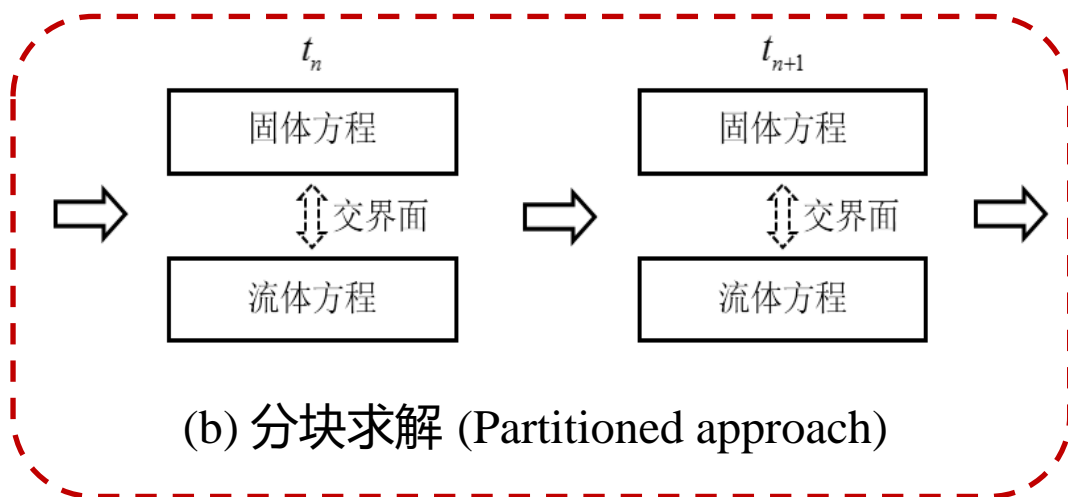
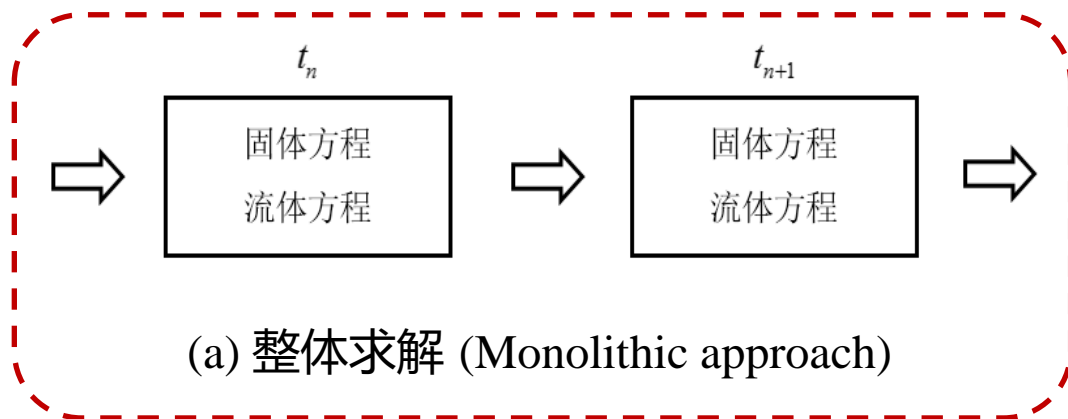
□ 军/民用岛礁



- 理论流体(声波方程):  $P_{,i} = \rho_w \ddot{U}_i$
- 饱和两相介质(Biot方程):  $\sigma_{ij,j} = (1 - \beta)\rho_s \ddot{u}_i - R_i$   
 $P_{,i} = \beta\rho_w \ddot{U}_i + R_i$
- 单相弹性土体(Navier方程):  $\sigma_{ij,j} = \rho_s \ddot{u}_i$



# 不同介质交界面结点计算



- 接触条件准确性较高
- 通用性差，不利于开发维护

- 通用性强，易于维护和拓展
- 可能需要迭代来交互信息

## □ 场变量描述:

速度-压力-位移-算子格式 ( $V - P - u - \lambda$ )

位移-压力格式 ( $u - P$ )

位移-速度势格式 ( $u - \varphi$ )

位移-位移格式 ( $u - U$ )

## □ 分界面信息交互格式:

整体求解模式、分块求解模式

## □ 空间离散方法:

有限差分法、有限元法、谱元法及各类组合方法

## □ 时间积分方法:

显式方法、隐式方法



南京工业大学  
NANJING UNIVERSITY OF TECHNOLOGY

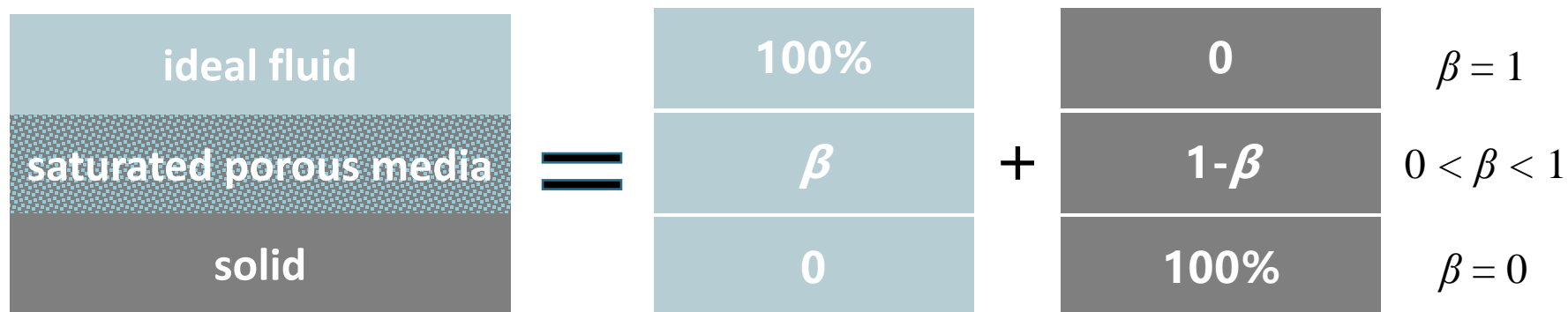
## 目录 | CONTENT

- 1 流固耦合地震波动问题
- 2 统一计算框架及其谱元格式
- 3 人工边界条件
- 4 高阶精确时步群时间积分算法

# 流固耦合问题统一计算框架



南京工业大学  
工程力学研究所



$$L_s^T \sigma' = 0 (u = 0)$$

$$-L_w^T P = \rho_w \ddot{U}$$

声波方程

$\beta = 1$

$$L_s^T \sigma' - (1 - \beta)L_w^T P + b(\dot{U} - \dot{u}) = (1 - \beta)\rho_s \ddot{u}$$

$$-\beta L_w^T P + b(\dot{u} - \dot{U}) = \beta \rho_w \ddot{U}$$

Biot 方程

$\beta = 0$

$$L_s^T \sigma' = \rho_s \ddot{u}$$

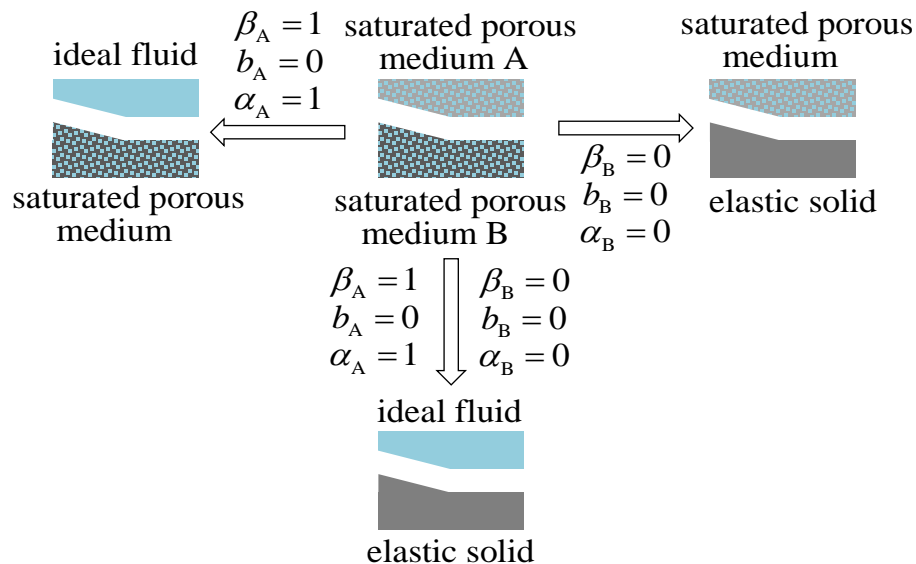
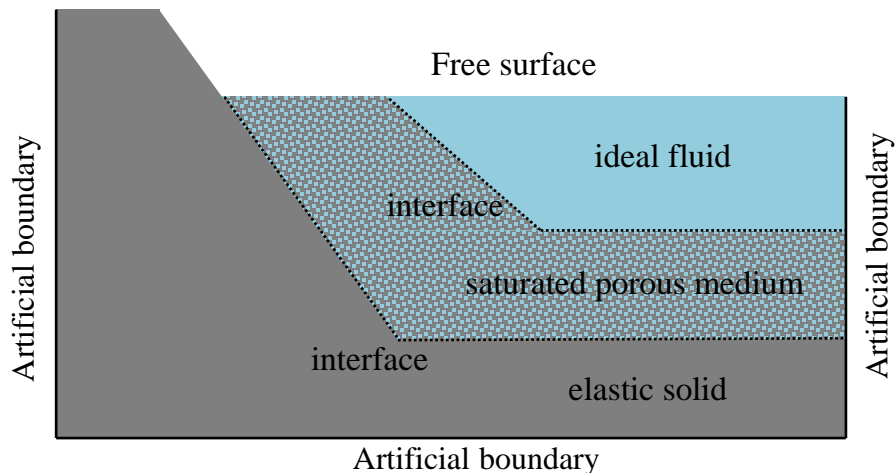
$$P = 0$$

弹性波方程

# 流固耦合问题统一计算框架



南京工业大学  
工程力学研究所



1. 不同的方程形式
2. 不同的场变量
3. 不同的空间离散格式
4. 不同的时步积分格式
5. 分界面信息交互繁琐

声波方程

Biot方程

弹性波方程

传统方法

Biot方程

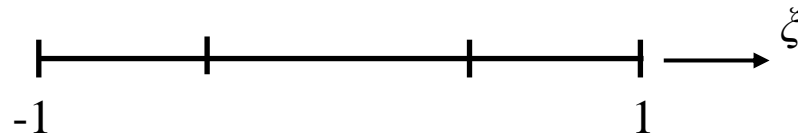
1. 计算格式全部统一  
(各层介质参数不同)
2. 内节点和分界面节点  
同步显式求解

统一计算框架

# 传统谱单元质量矩阵



南京工业大学  
工程力学研究所



Chebyshev谱单元质量矩阵

Legendre谱单元质量矩阵

$$M_{ij}^e = \rho |\mathbf{J}| \frac{4}{(p-1)^2 c_i c_j} \sum_{k=0}^{p-1} \sum_{l=0}^{p-1} \frac{1}{c_k c_l} T_k(\xi_i) T_l(\xi_j) A_{kl}$$

$$\mathbf{M}^e = \begin{bmatrix} 0.1418 & 0.0127 & -0.0720 & 0.0286 \\ 0.0127 & 0.7450 & 0.2032 & -0.0720 \\ -0.0720 & 0.2032 & 0.7450 & 0.0127 \\ 0.0286 & -0.0720 & 0.0127 & 0.1418 \end{bmatrix}$$

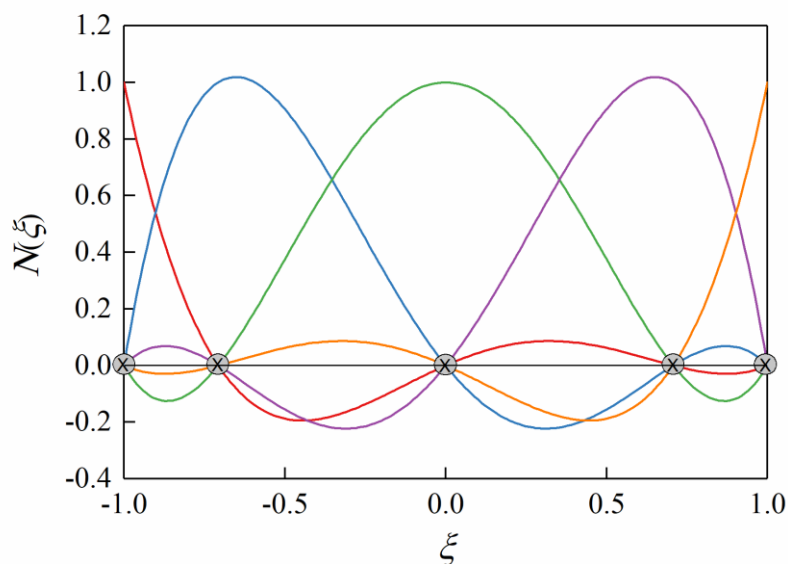
Gauss-Legendre(GL)积分结果

$$M_{ij}^e = \rho |\mathbf{J}| \sum_{k=1}^p w_k N_i(\xi_k) N_j(\xi_k)$$

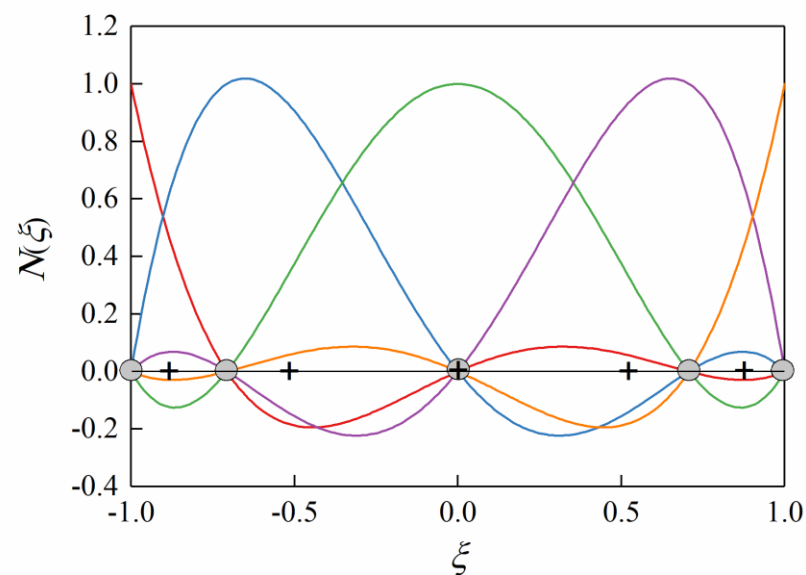
$$\mathbf{M}^e = \begin{bmatrix} 0.1667 & 0 & 0 & 0 \\ 0 & 0.8333 & 0 & 0 \\ 0 & 0 & 0.8333 & 0 \\ 0 & 0 & 0 & 0.1667 \end{bmatrix}$$

Gauss-Lobatto-Legendre(GLL)积分结果

$$\mathbf{M}^e = \int_{\Omega^e} \mathbf{N}^T \boldsymbol{\mu} \mathbf{N} dx = \sum_{i=0}^n w_i (\mathbf{N}(\xi_i))^T \boldsymbol{\mu} \mathbf{N}(\xi_i) \det \mathbf{J}(\xi_i)$$

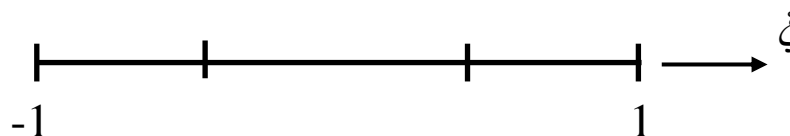


● 单元节点    x Gauss-Lobatto积分点



● 单元节点    + Gauss积分点

**结论：Kronecker- $\delta$ 性质导致集中质量矩阵。**



Chebyshev谱单元质量矩阵

$$M_{ij}^e = \rho |\mathbf{J}| \frac{4}{(p-1)^2 c_i c_j} \sum_{k=0}^{p-1} \sum_{l=0}^{p-1} \frac{1}{c_k c_l} T_k(\xi_i) T_l(\xi_j) A_{kl}$$

$$\mathbf{M}^e = \begin{bmatrix} 0.1111 & 0 & 0 & 0 \\ 0 & 0.8889 & 0 & 0 \\ 0 & 0 & 0.8889 & 0 \\ 0 & 0 & 0 & 0.1111 \end{bmatrix}$$

Legendre谱单元质量矩阵

$$M_{ij}^e = \rho |\mathbf{J}| \sum_{k=1}^p w_k N_i(\xi_k) N_j(\xi_k)$$

$$\mathbf{M}^e = \begin{bmatrix} 0.1429 & 0.0532 & -0.0532 & 0.0238 \\ 0.0532 & 0.7143 & 0.1190 & -0.0532 \\ -0.0532 & 0.1190 & 0.7143 & 0.0532 \\ 0.0238 & -0.0532 & 0.0532 & 0.1429 \end{bmatrix}$$

Gauss-Lobatto-Chebyshev(GLC)积分结果

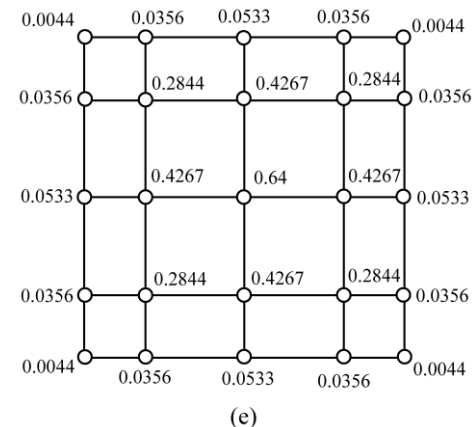
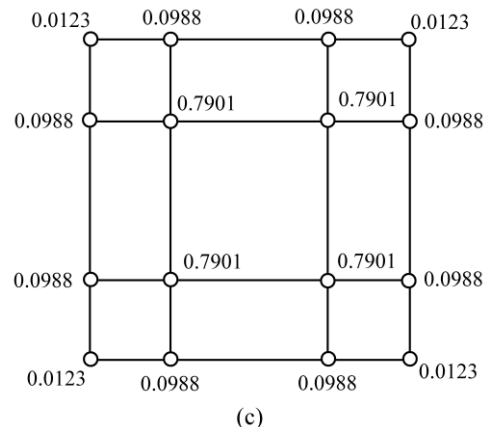
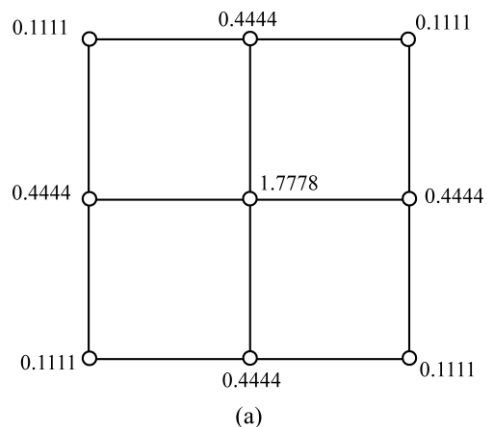
Gauss-Legendre(GL)积分结果



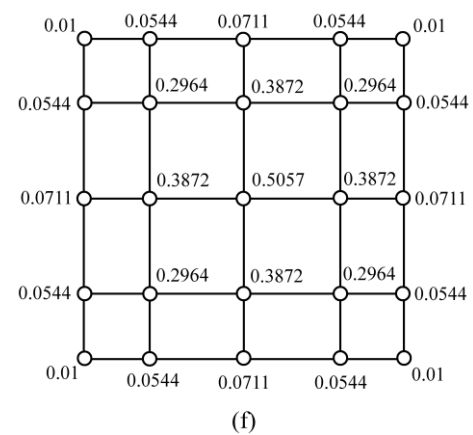
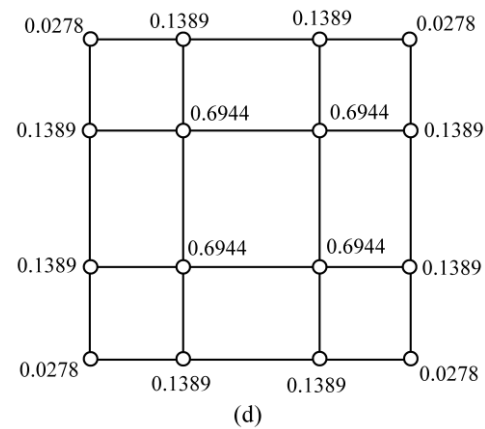
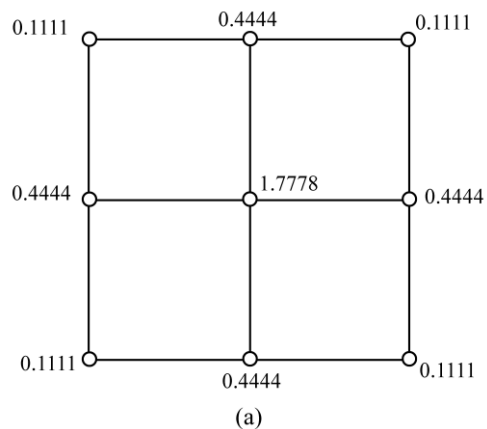
# 谱单元集中质量分布特征



南京工业大学  
工程力学研究所



## Chebyshev谱单元



## Legendre谱单元

# 谱单元集中质量分布特征



南京工业大学  
工程力学研究所

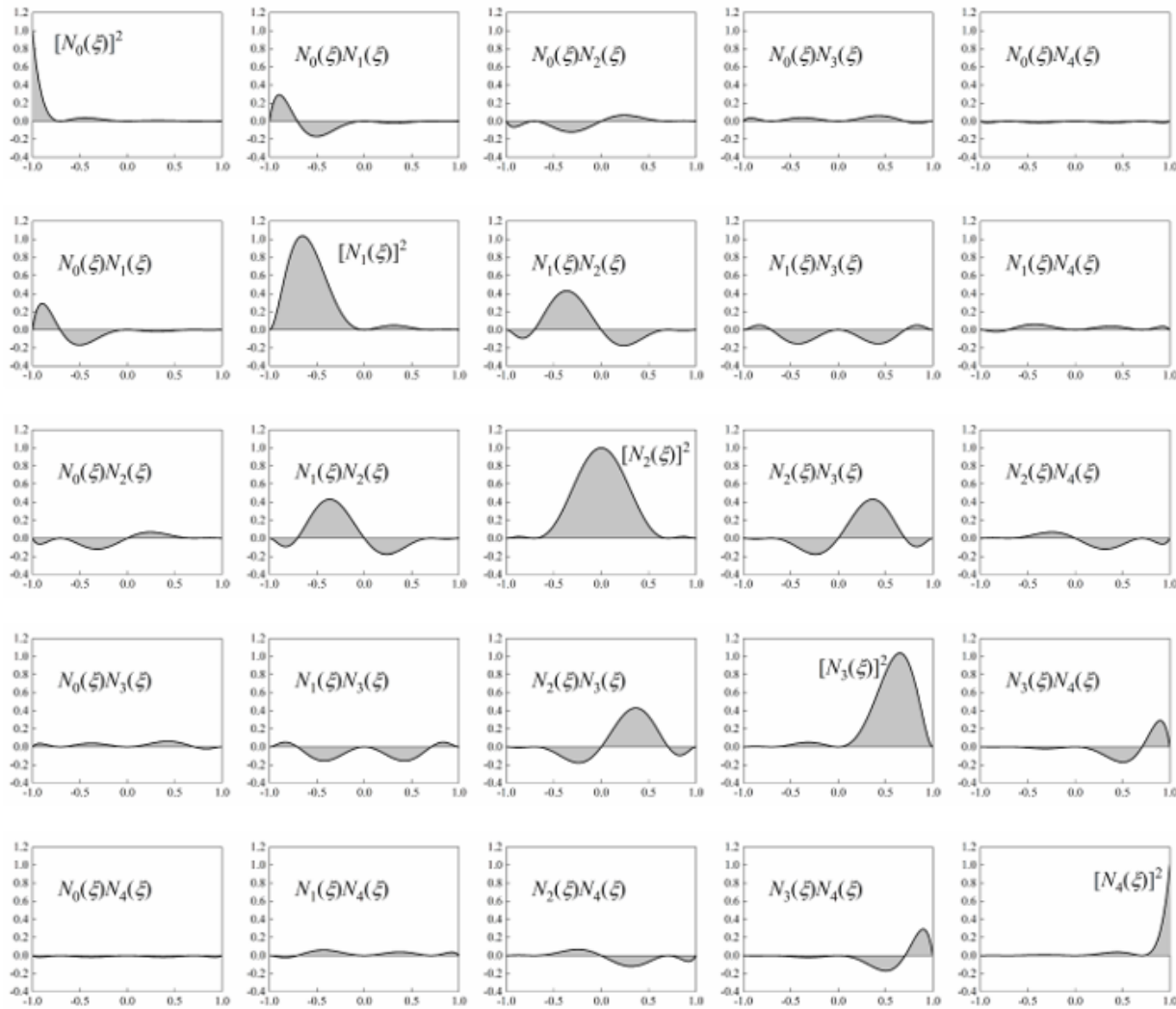


图4 一维5节点 Chebyshev 谱单元一致质量模型数学图示

Fig. 4 Mathematical representation for consistent mass model of 1-D 5-node Chebyshev element

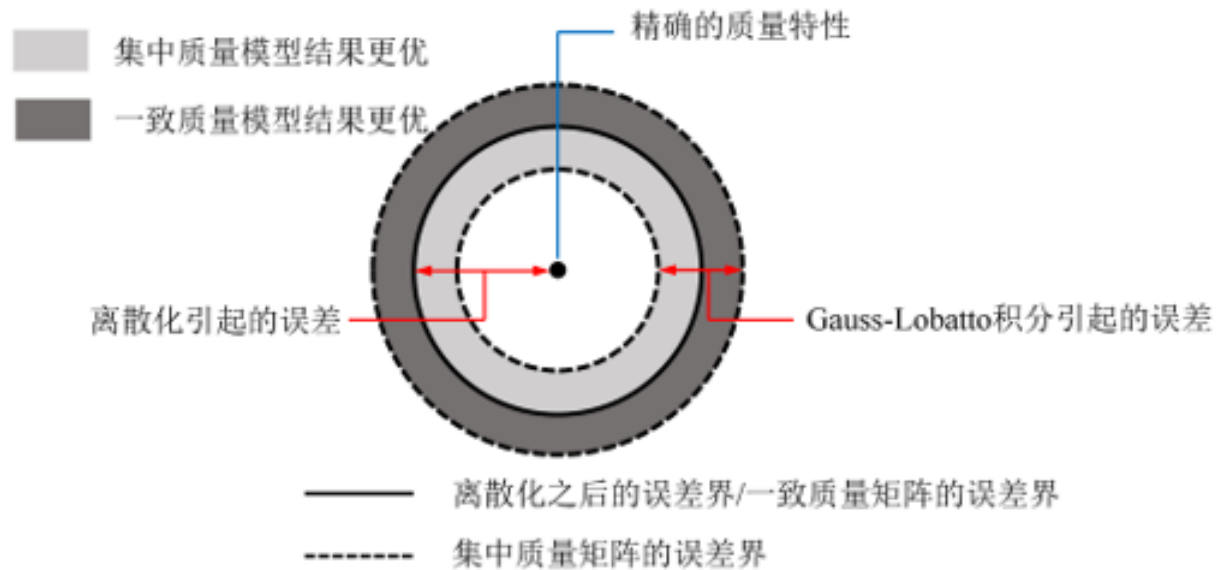
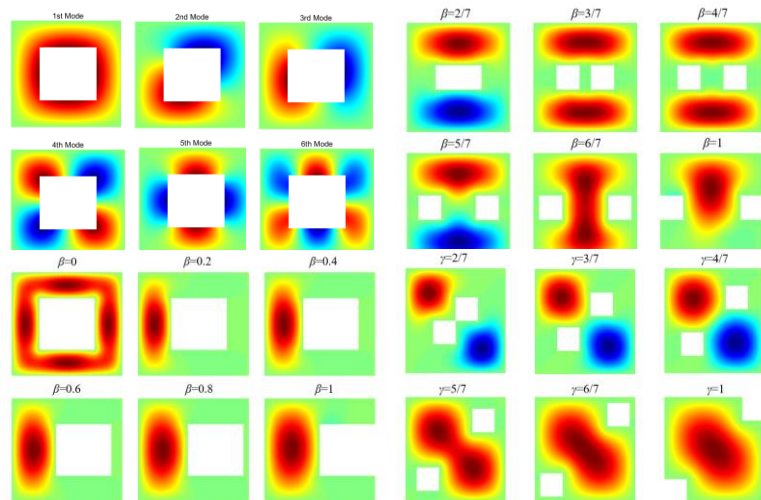
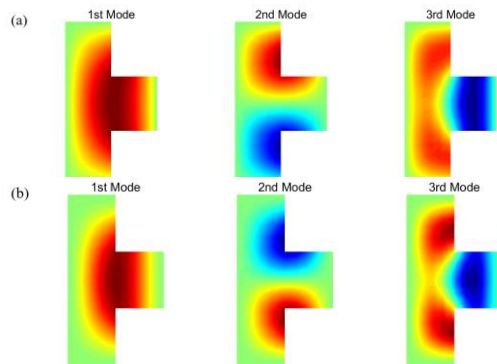
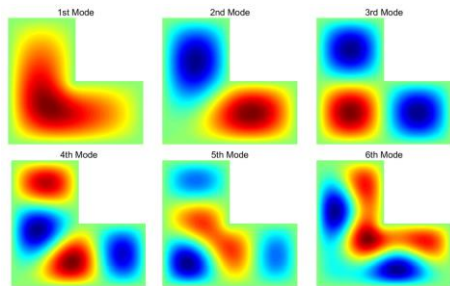
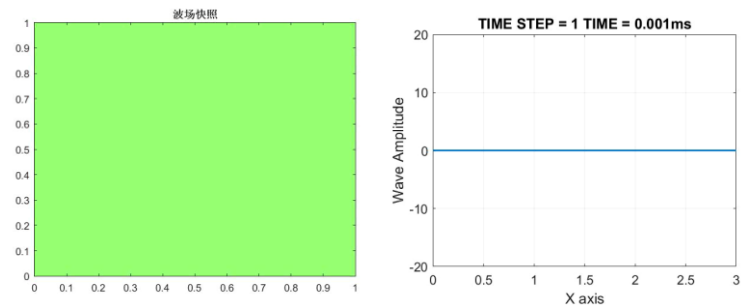
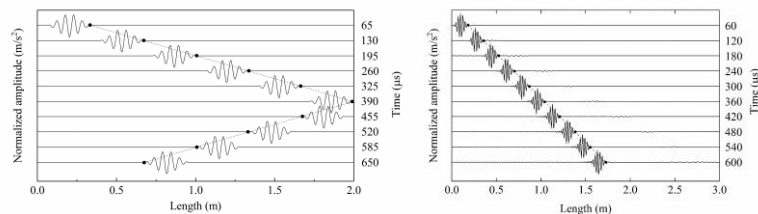


图 9 离散化和积分过程引起的质量特性误差

Fig. 9 Error in mass property caused by discretization and integration

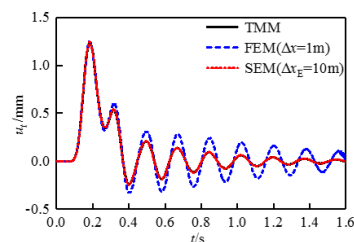
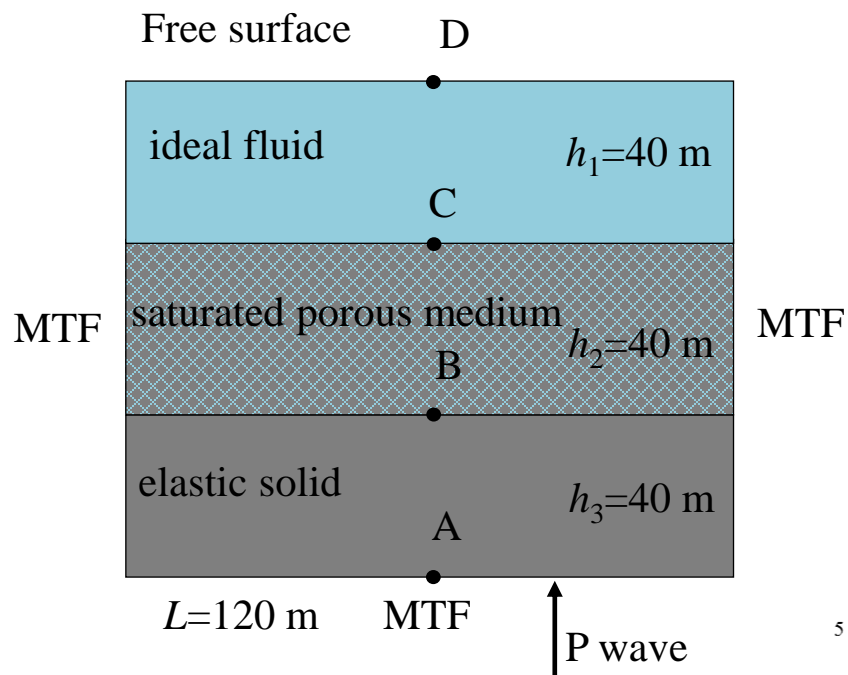
- 拉压杆谱单元
- Timoshenko梁谱单元
- Mindlin板谱单元
- 三维实体谱单元
- $C^1$ 型Chebyshev板谱单元



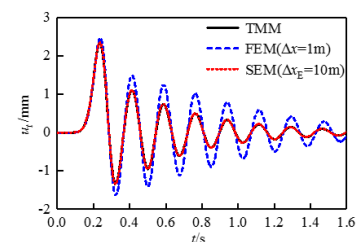
# 流固耦合地震波动模拟



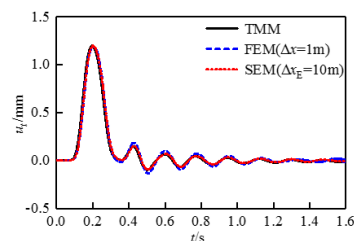
南京工业大学  
工程力学研究所



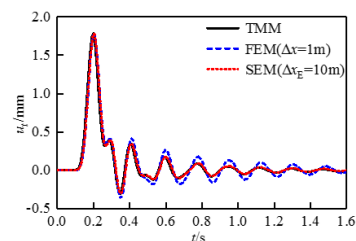
(e) C 点饱和和土固相位移



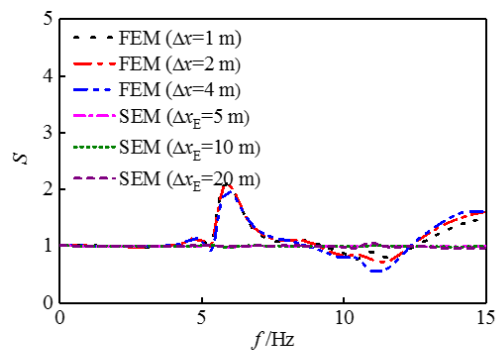
(f) C 点饱和和土液相位移



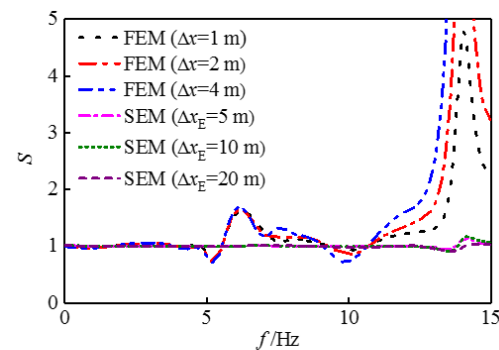
(g) C 点理想流体位移



(h) D 点理想流体位移



(a) C 点固相位移谱比

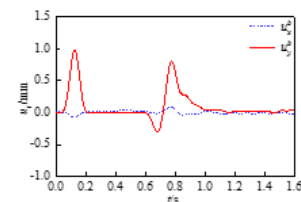
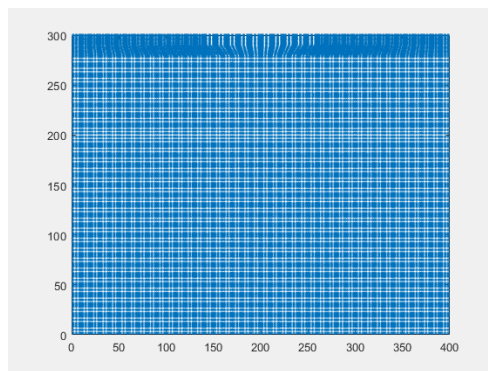
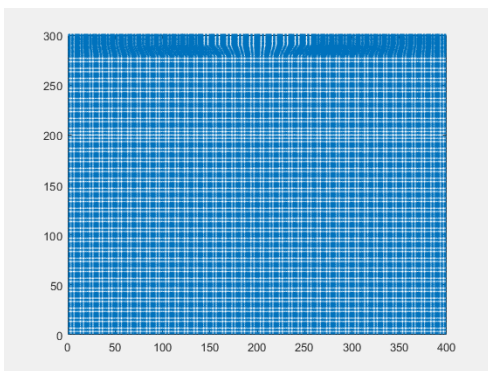
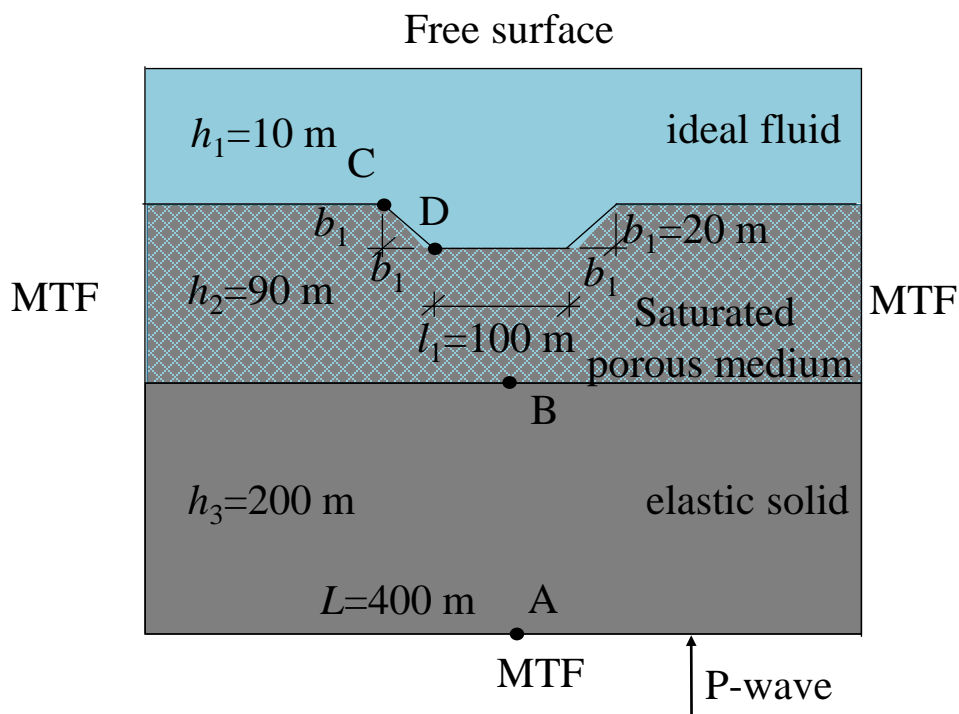


(b) C 点液相位移谱比

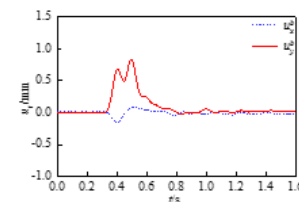
# 流固耦合地震波动模拟



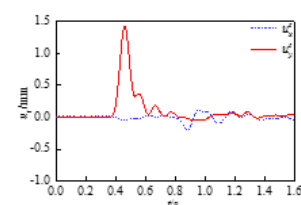
南京工业大学  
工程力学研究所



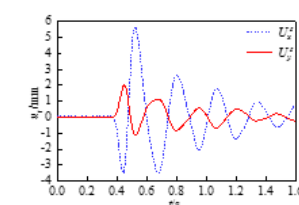
(a) A点基岩位移



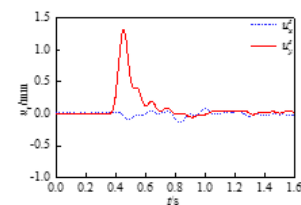
(b) B点基岩位移



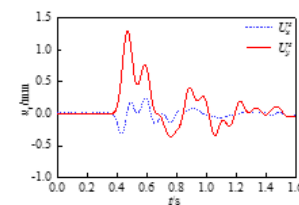
(c) C点饱和和土固相位移



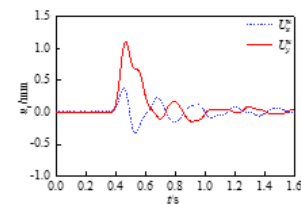
(d) C点饱和和土液相位移



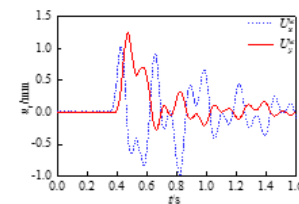
(e) D点饱和和土固相位移



(f) D点饱和和土液相位移



(g) C点理想流体位移

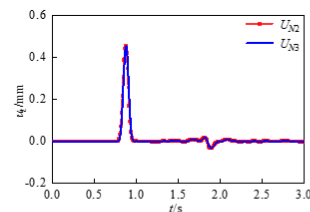
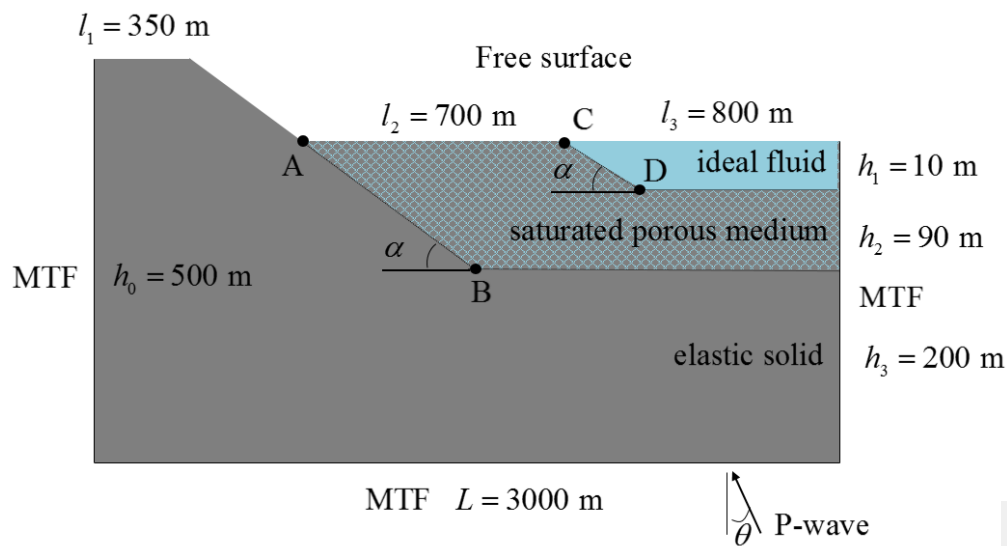


(h) D点理想流体位移

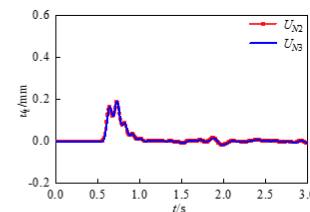
# 流固耦合地震波动模拟



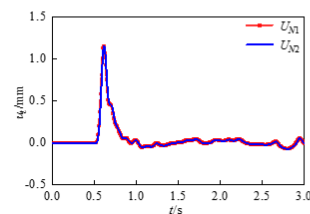
南京工业大学  
工程力学研究所



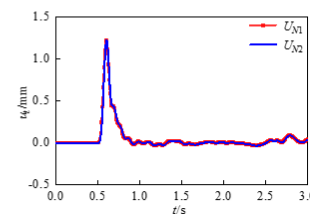
(a) A 点法向位移



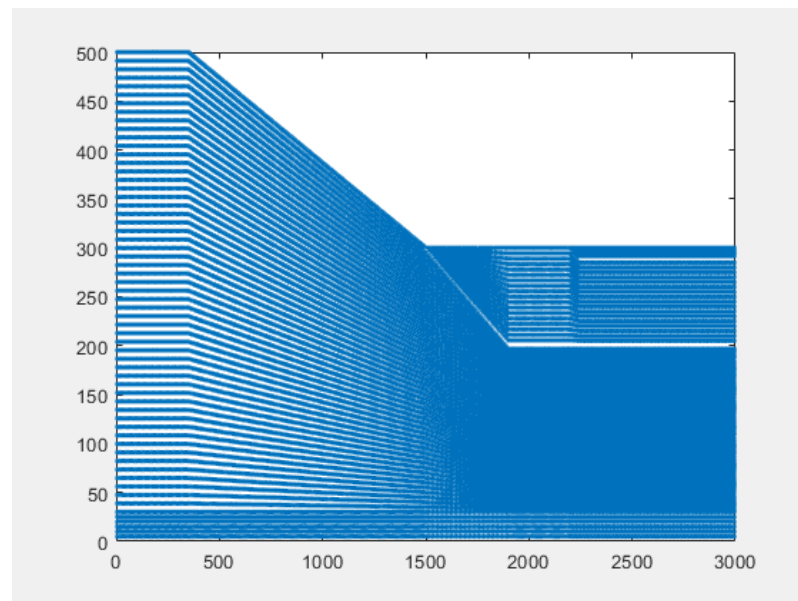
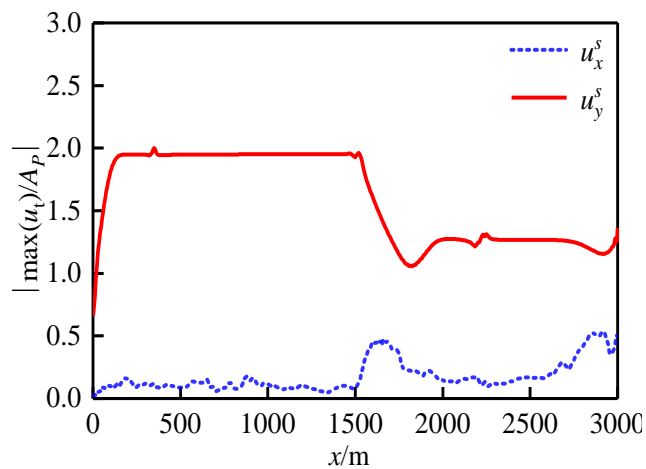
(b) B 点法向位移



(c) C 点法向位移



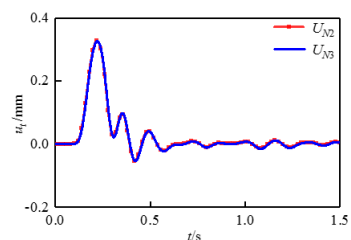
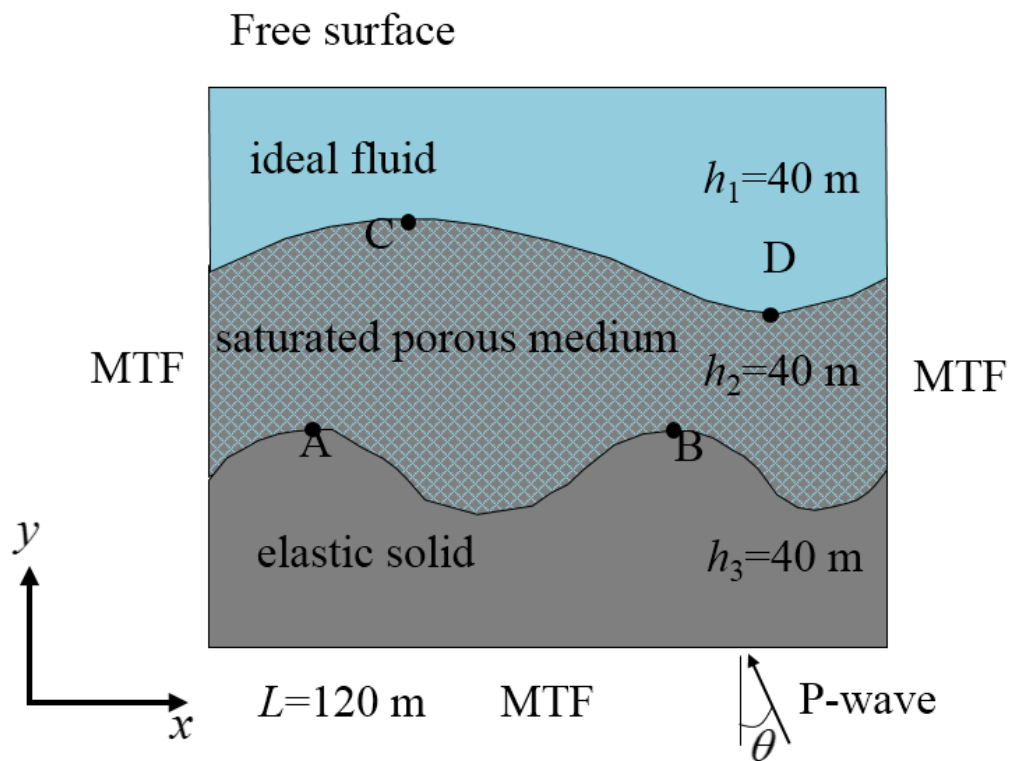
(d) D 点法向位移



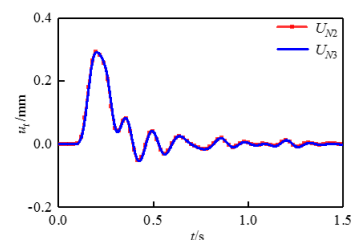
# 流固耦合地震波动模拟



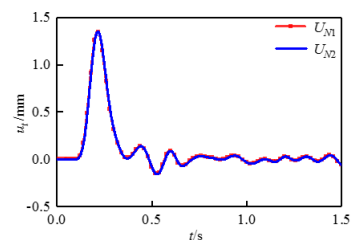
南京工业大学  
工程力学研究所



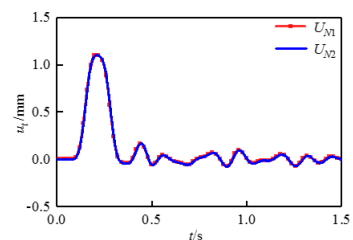
(a) A 点法向位移



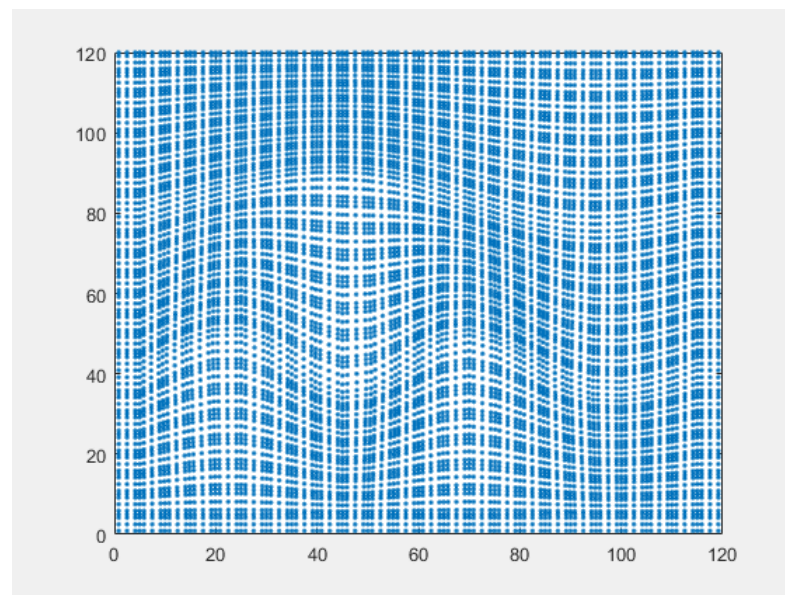
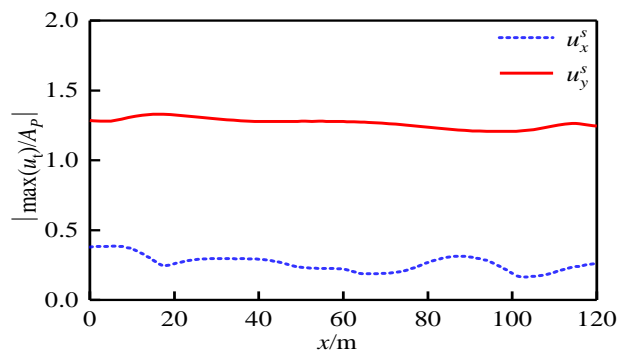
(b) B 点法向位移



(c) C 点法向位移



(d) D 点法向位移







南京工业大学  
NANJING UNIVERSITY OF TECHNOLOGY

## 目录 | CONTENT

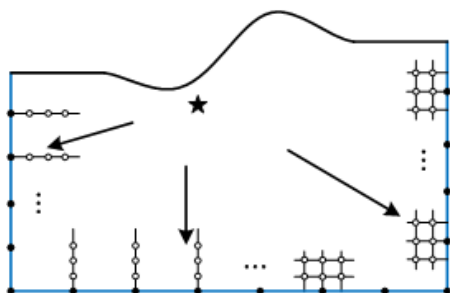
- 1 流固耦合地震波动问题
- 2 统一计算框架及其谱元格式
- 3 人工边界条件
- 4 高阶精确时步群时间积分算法

针对问题：当前人工边界条件种类繁多(几十上百种)，如何分类是个难题？

我们认为，计算人工边界节点运动的方式可分为三种类型：

(1) 时空外推 (2) 应力平衡 (3) 区域衰减

据此，将局部人工边界条件分为以下三类：



## 外推型人工边界条件

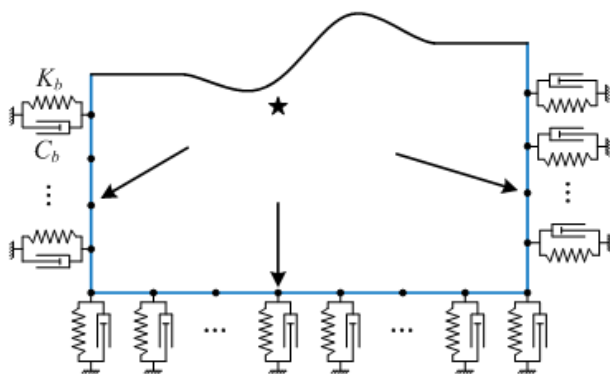
[ 利用内部节点的运动直接外推人工边界节点的运动 ]

(Clayton-Engquist旁轴近似边界；

廖氏透射边界；

Higdon边界；

AWWE边界等)



## 应力型人工边界条件

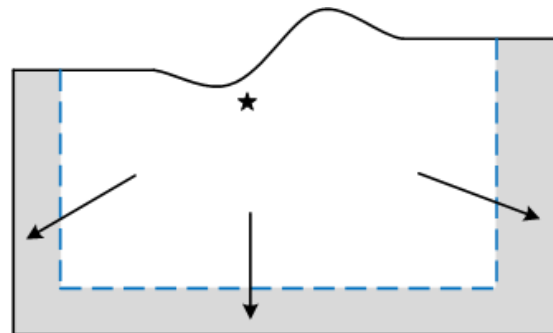
[ 添加弹簧、阻尼等力学元件来模拟被截掉的外部无限介质的作用 ]

(Lysmer-Kuhlemeyer粘性边界；

集中参数模型；

粘弹性边界(刘晶波;Kellezi等)；

高阶应力型边界(杜修力-赵密))



## 衰减层型人工边界条件

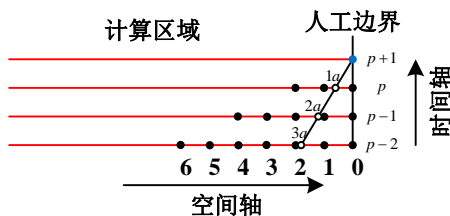
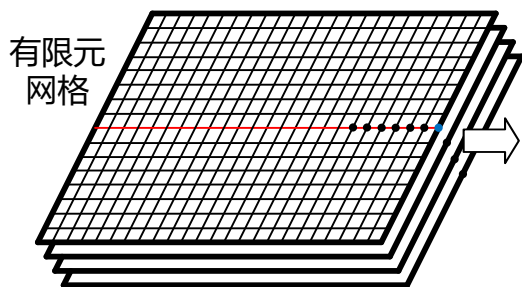
[ 在外部衰减层内人为地将外行波衰减至接近零的水平 ]

(Cerjan函数衰减层边界(海绵边界)；

阻尼衰减层；

瑞利阻尼层；

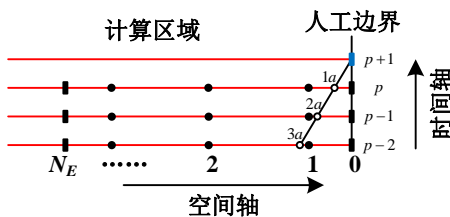
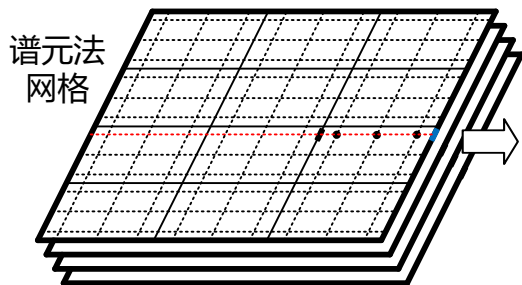
完美匹配层边界)



$$[I - (t_1 + t_2 K + t_3 K^2) Z^{-1}]^N u_0^{p+1} = 0$$

一阶边界的乘方形式

有限元网格中的MTF



$$u_0^{p+1} = \sum_{j=1}^N (-1)^{j+1} C_j^N T_j u_j$$

非乘方  
形式

$$T_j = [t_{j,0}, t_{j,1}, \dots, t_{j,M}]$$

$$u_j = [u_0^{p+1-j}, u_1^{p+1-j}, \dots, u_M^{p+1-j}]^T$$

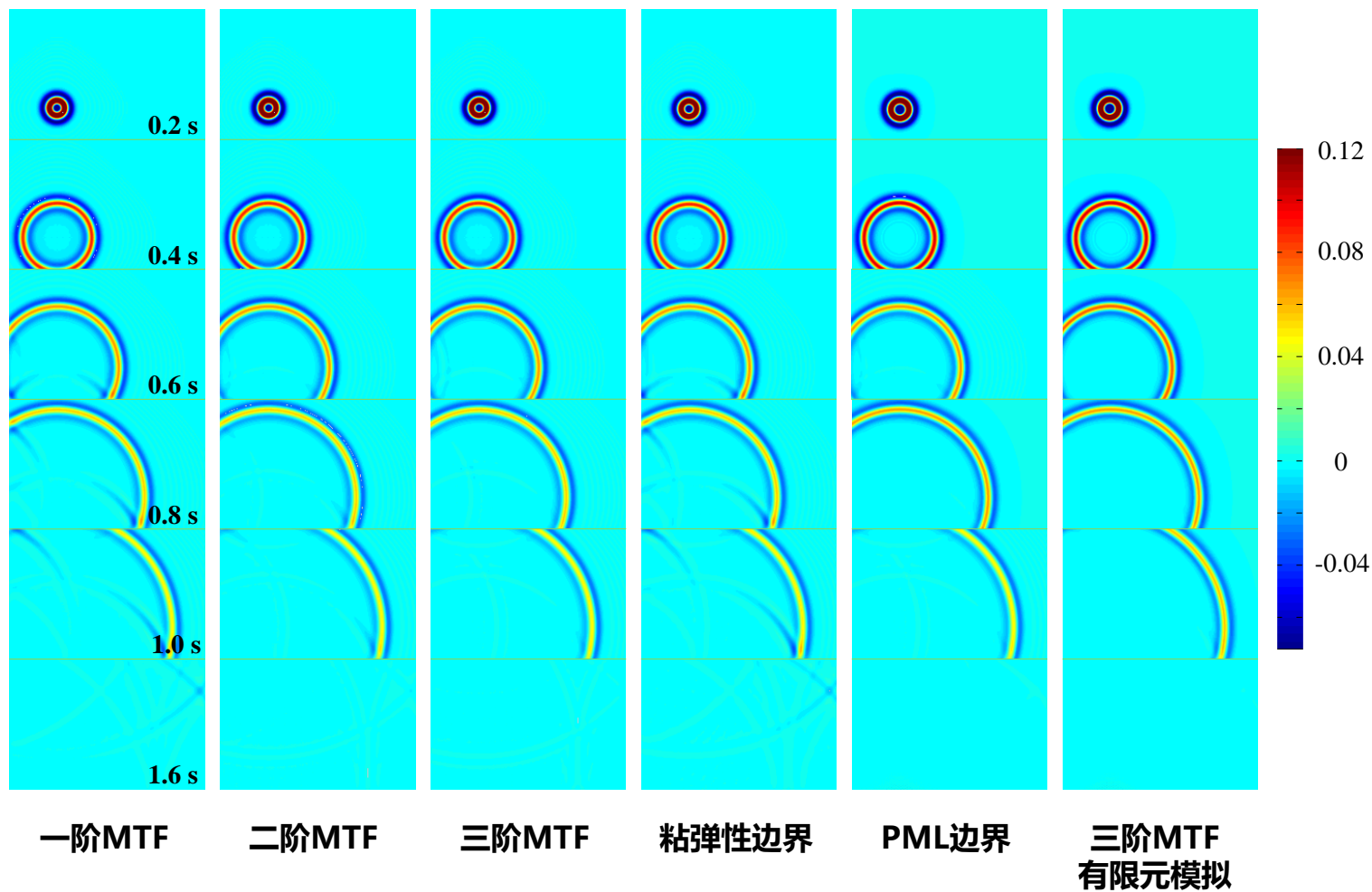
$$t_{j,i} = \prod_{\substack{k=0 \\ k \neq i}}^M \frac{(j c_a \Delta t - s_k)}{(s_i - s_k)}$$

谱元网格中的MTF

# SH波动模拟



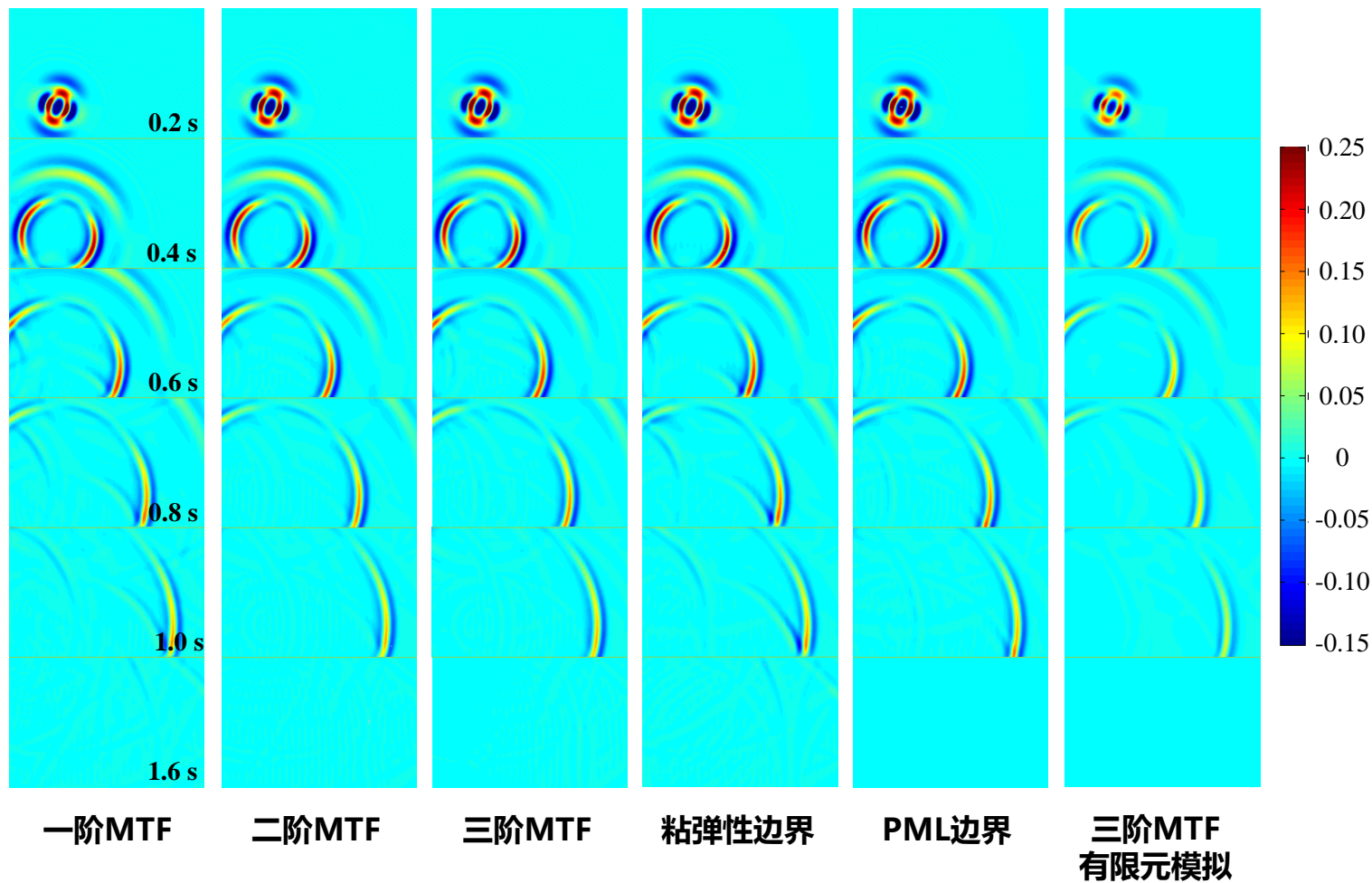
南京工业大学  
工程力学研究所



# P-SV波动模拟



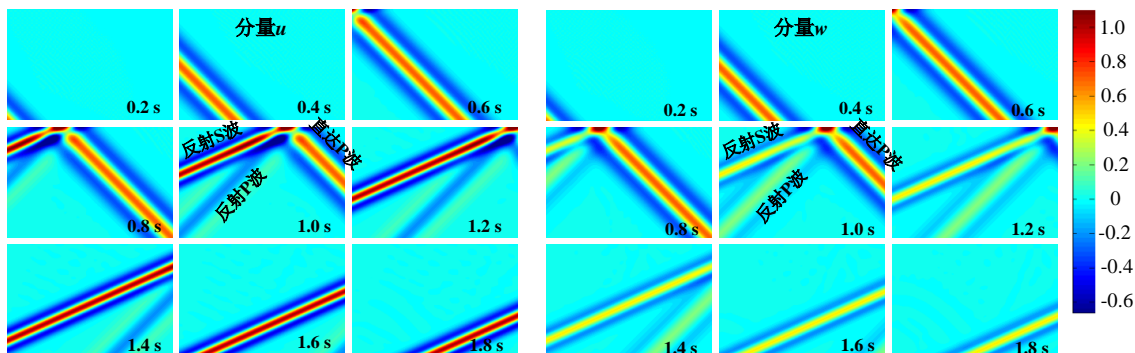
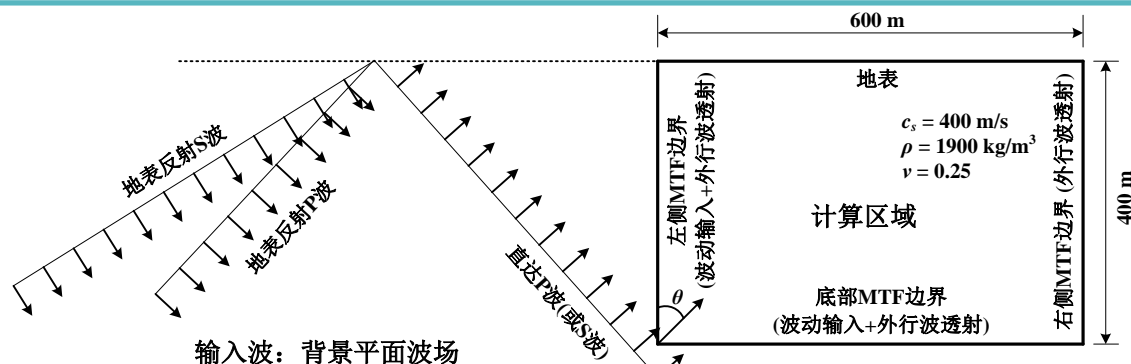
南京工业大学  
工程力学研究所



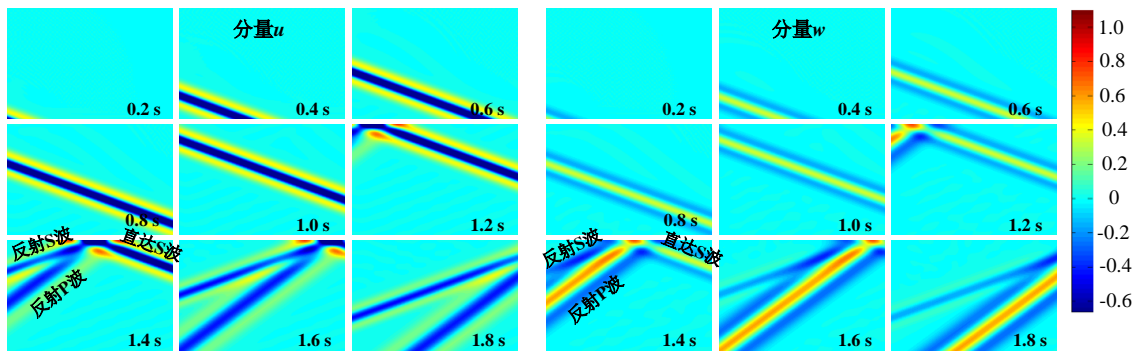
# 斜入射问题



南京工业大学  
工程力学研究所

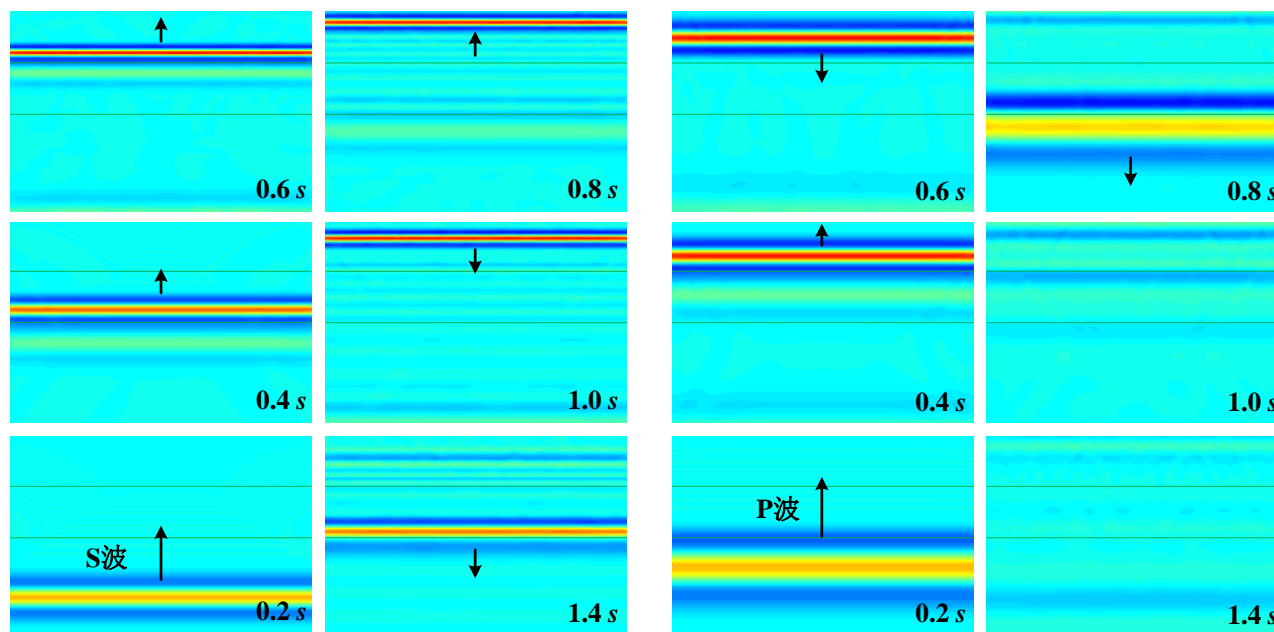


(a) P波斜入射 ( $\theta = 45^\circ$ )



(b) S波斜入射 ( $\theta = 20^\circ$ )

# 垂直入射问题



分量 $u$

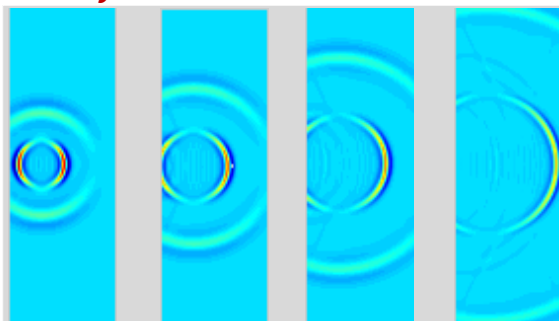
分量 $w$

# 体波大角度透射

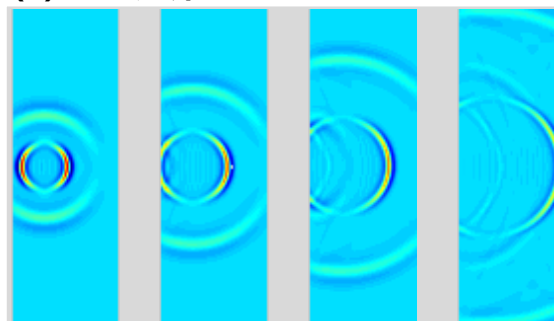


南京工业大学  
工程力学研究所

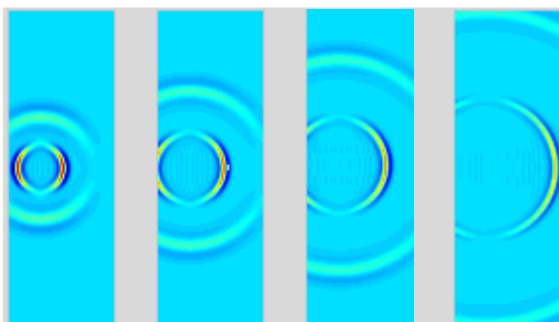
(a)  $c_{aj}$ -MTF边界



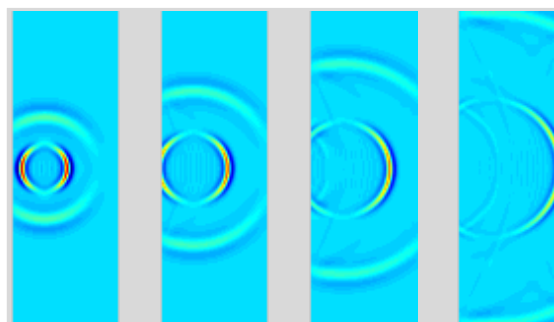
(b) MTF边界



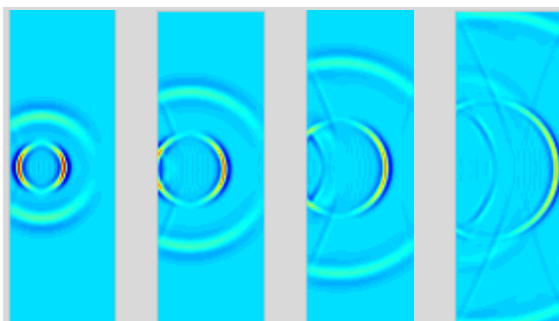
(c) PML边界



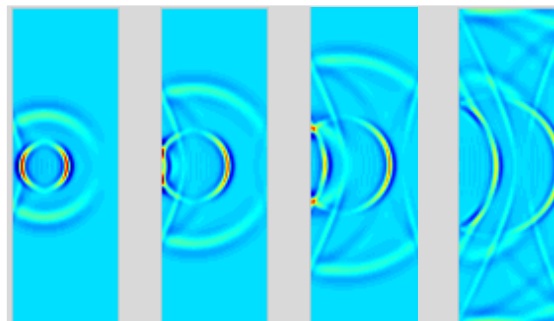
(d) 粘弹性边界



(e) 一阶CE边界



(f) 自由边界(物理边界)



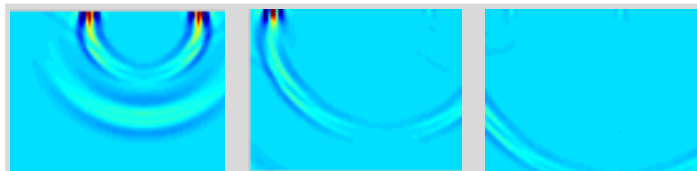


# Rayleigh面波透射

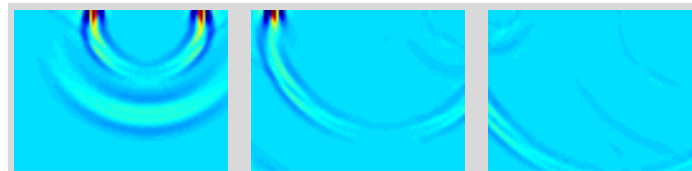


南京工业大学  
工程力学研究所

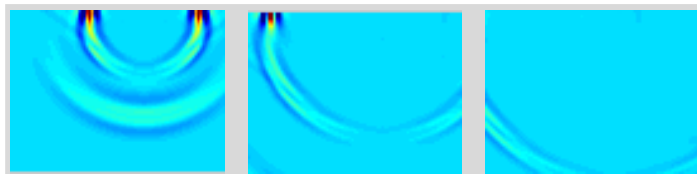
(a)  $c_{aj}$ -MTF边界



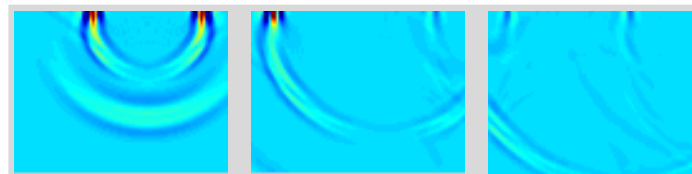
(b) MTF边界



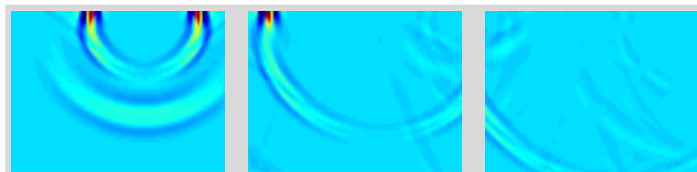
(c) PML边界



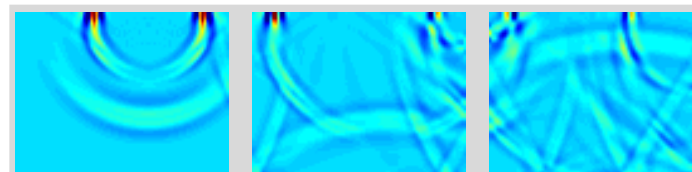
(d) 粘弹性边界



(e) 一阶CE边界



(f) 自由边界(物理边界)





南京工业大学  
NANJING UNIVERSITY OF TECHNOLOGY

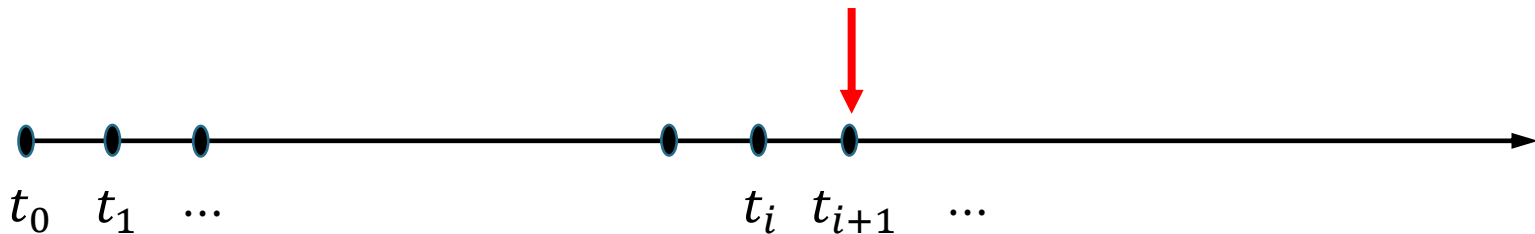
## 目录 | CONTENT

- 1 流固耦合地震波动问题
- 2 统一计算框架及其谱元格式
- 3 人工边界条件
- 4 高阶精确时步群时间积分算法

- 单步法
- 多步法

$$\begin{Bmatrix} u_{t+\Delta t} \\ \dot{u}_{t+\Delta t} \end{Bmatrix} = \mathbf{A} \begin{Bmatrix} u_t \\ \dot{u}_t \end{Bmatrix} + \mathbf{L}r_{t+\Delta t}$$

递推计算：利用前一个时步或前若干个时步的解推测当前时步的解。



状态控制方程：

$$\begin{Bmatrix} \dot{u} \\ \ddot{u} \end{Bmatrix} = \begin{bmatrix} \mathbf{0} & \mathbf{I} \\ -m^{-1}k & -m^{-1}c \end{bmatrix} \begin{Bmatrix} u \\ \dot{u} \end{Bmatrix} + \begin{Bmatrix} \mathbf{0} \\ m^{-1} \end{Bmatrix} r$$

$$\dot{\mathbf{y}} = \mathbf{H}\mathbf{y} + \mathbf{G}r$$

状态向量：  $\mathbf{y} = \begin{Bmatrix} u \\ \dot{u} \end{Bmatrix}$

初始条件：  $\mathbf{y}(0) = \mathbf{y}_0 = \begin{Bmatrix} u_0 \\ \dot{u}_0 \end{Bmatrix}$

$$\mathbf{y}(t) = e^{\mathbf{H}t} \mathbf{y}_0 + \int_0^t e^{\mathbf{H}(t-\theta)} \mathbf{G}r(\theta) d\theta$$

解析解:

$$\mathbf{y}(t) = e^{\mathbf{H}t} \mathbf{y}_0 + \int_0^t e^{\mathbf{H}(t-\theta)} \mathbf{G} \mathbf{r}(\theta) d\theta$$

$$\mathbf{y}(t) = e^{\mathbf{H}t} \left( \mathbf{y}_0 + \int_0^t e^{-\mathbf{H}\theta} \mathbf{G} \mathbf{r}(\theta) d\theta \right)$$

$$\mathbf{y}(t) = \mathbf{T}(t) [\mathbf{y}_0 + \mathbf{D}(t)]$$

$$\mathbf{T}(t) = e^{\mathbf{H}t} = \mathbf{I} + \mathbf{H}t + \frac{(\mathbf{H}t)^2}{2!} + \frac{(\mathbf{H}t)^3}{3!} + \frac{(\mathbf{H}t)^4}{4!} + \dots$$

$$\mathbf{D}(t) = \int_0^t \mathbf{T}(-\theta) \mathbf{G} \mathbf{r}(\theta) d\theta$$

## 矩阵指数计算:

$$\mathbf{T}(t) = e^{\mathbf{H}t} = \mathbf{I} + \mathbf{H}t + \frac{(\mathbf{H}t)^2}{2!} + \frac{(\mathbf{H}t)^3}{3!} + \frac{(\mathbf{H}t)^4}{4!} + \dots$$

数值方法: 精细积分法+秦九韶算法。

## 积分向量计算:

$$\mathbf{D}(t) = \int_0^t \mathbf{T}(-\theta) \mathbf{G}r(\theta) d\theta$$

$$\dot{\mathbf{D}}(t) = \frac{d}{dt} \mathbf{D}(t) = \mathbf{T}(-t) \mathbf{G}r(t)$$

## 稳定性分析:

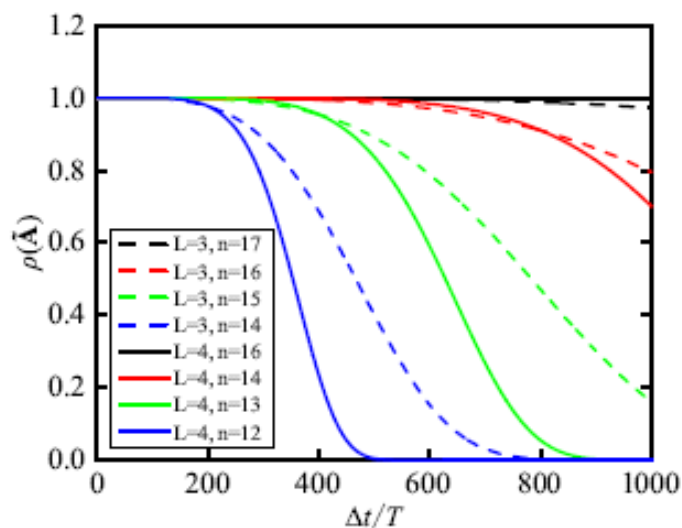


FIGURE 2 Spectral radii vs  $\Delta t/T$  for the time-step group method when  $\xi = 0$ .

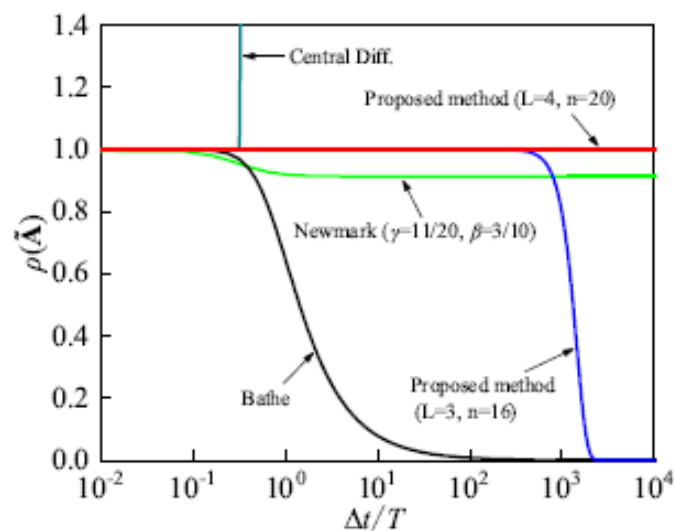
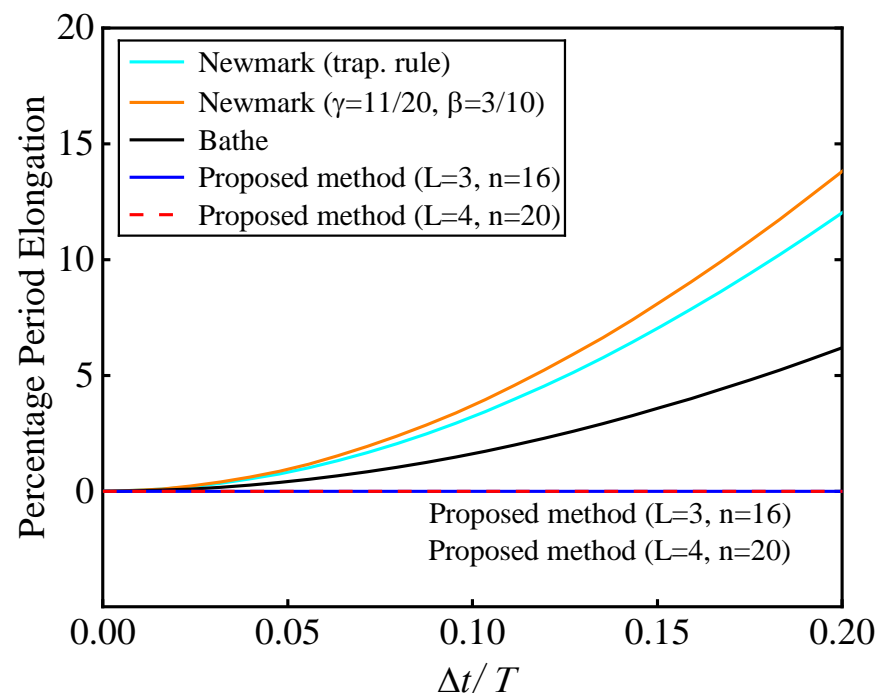
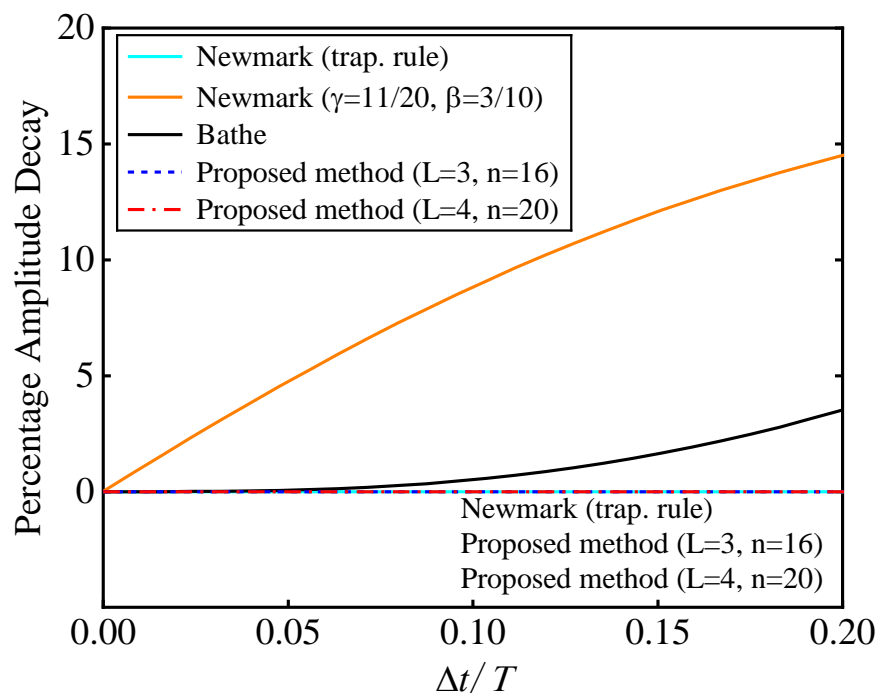


FIGURE 3 Spectral radii vs  $\Delta t/T$  for various time integration schemes when  $\xi = 0$ .

## 精度分析:





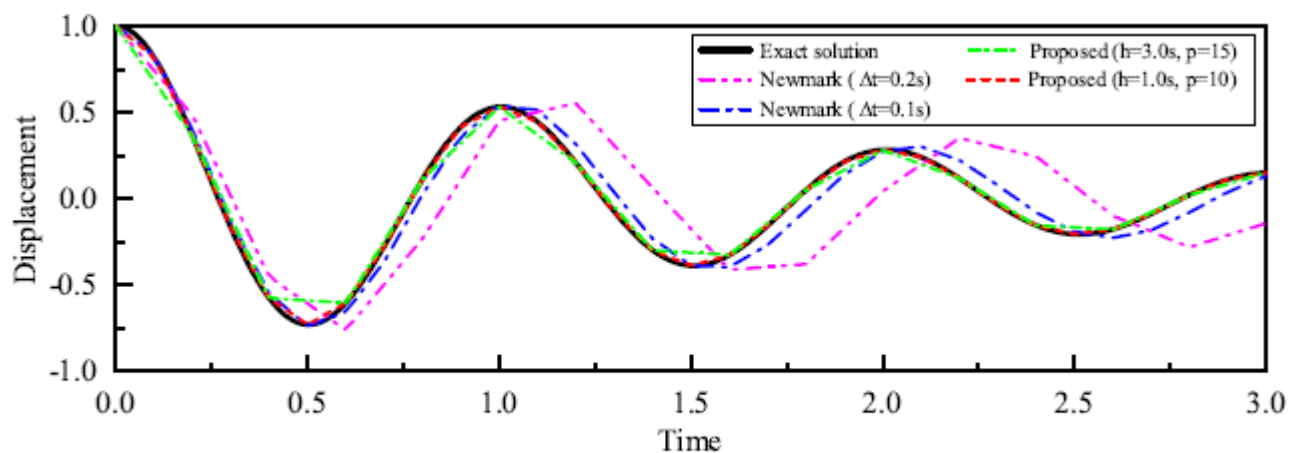


FIGURE 7 Comparison of displacement solutions of linear SDOF system with different time step size.

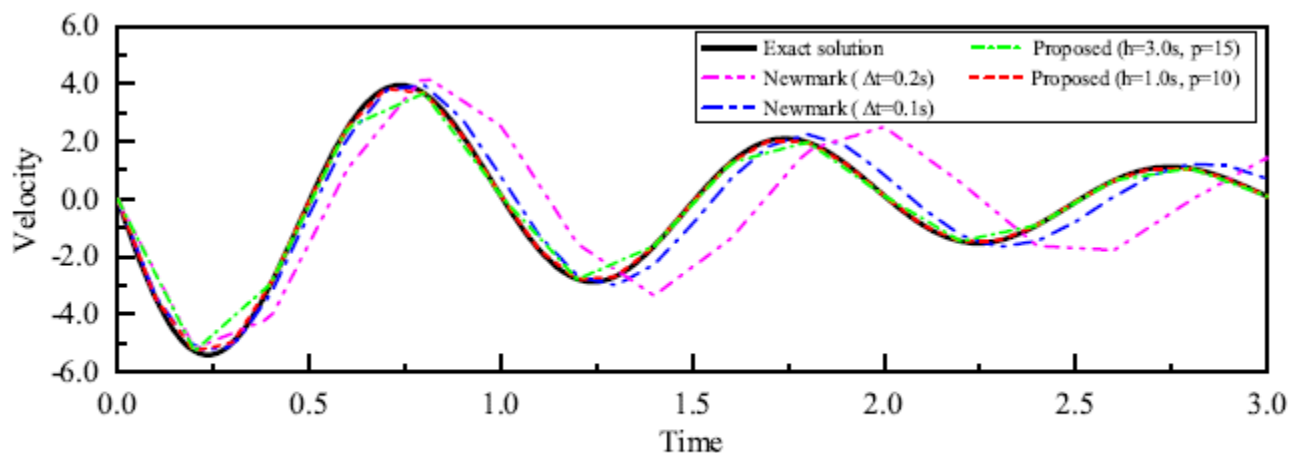


FIGURE 8 Comparison of velocity solutions of linear SDOF system with different time step size.

## Duffing oscillator:

$$m\ddot{u} + c\dot{u} + g(u) = f(t)$$

$$g(u) = k_0(1 + \lambda^2 u^2)$$

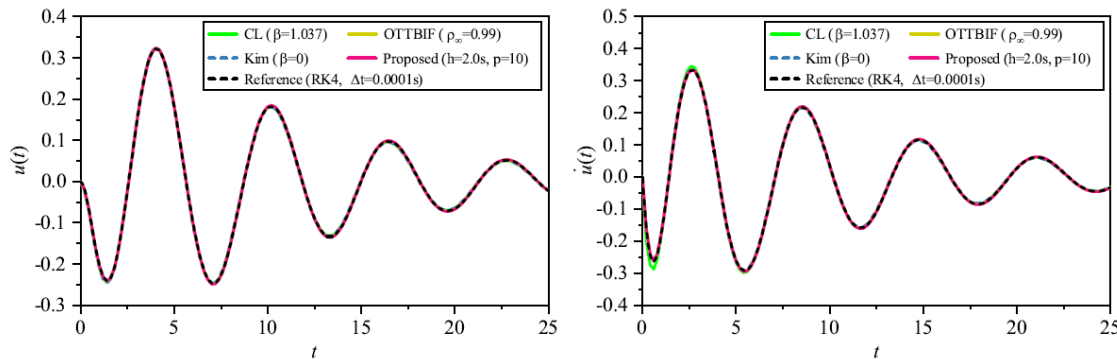


FIGURE 9 Displacements and velocities for the Duffing oscillator with  $\Delta t = 0.2s$  for all methods.

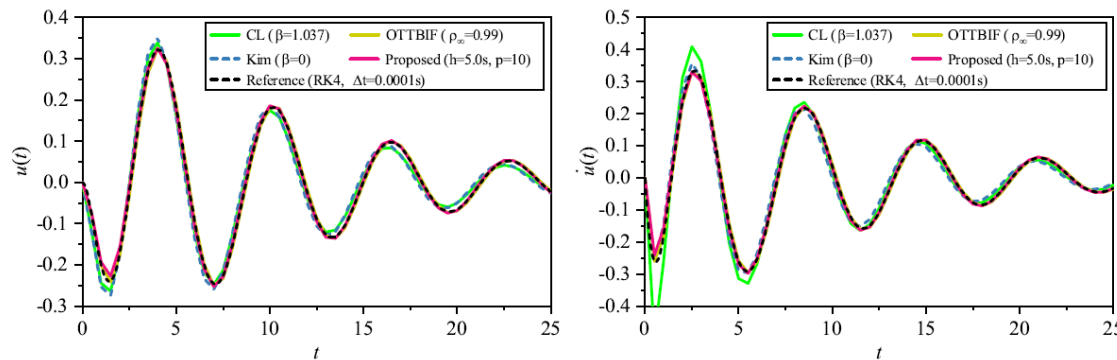


FIGURE 10 Displacements and velocities for the Duffing oscillator with  $\Delta t = 0.5s$  for all methods.

# 质量-弹簧系统算例



南京工业大学  
工程力学研究所

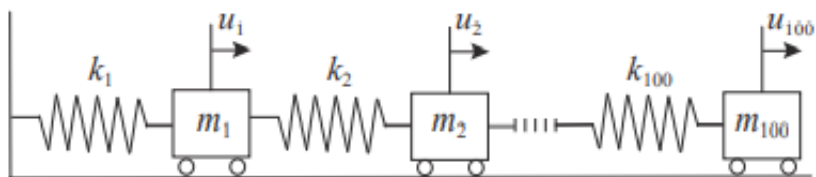


图4 100 自由度弹簧质量体系

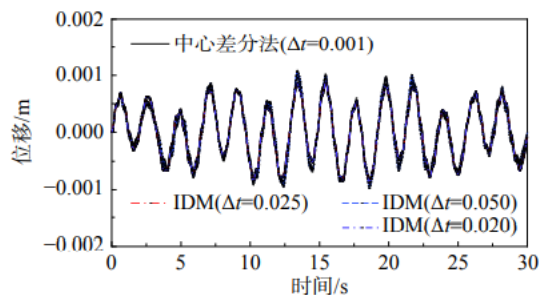


图6 体系第50 自由度位移响应对比  
Fig. 6 Comparison of the displacement responses of the DOF 50 in this system

表5 弹簧-质量体系的基本特性  
Table 5 Properties of the spring-mass system

| DOF    | $k/(N/m)$         | $m/(N \cdot s^2/m)$ | $\zeta$ |
|--------|-------------------|---------------------|---------|
| 1~50   | $3.0 \times 10^7$ | 100.0               | 0       |
| 50~100 | $1.0 \times 10^5$ | 100.0               | 0       |

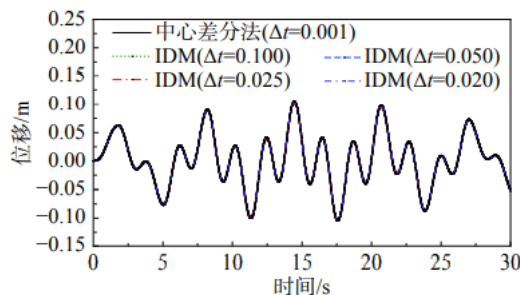
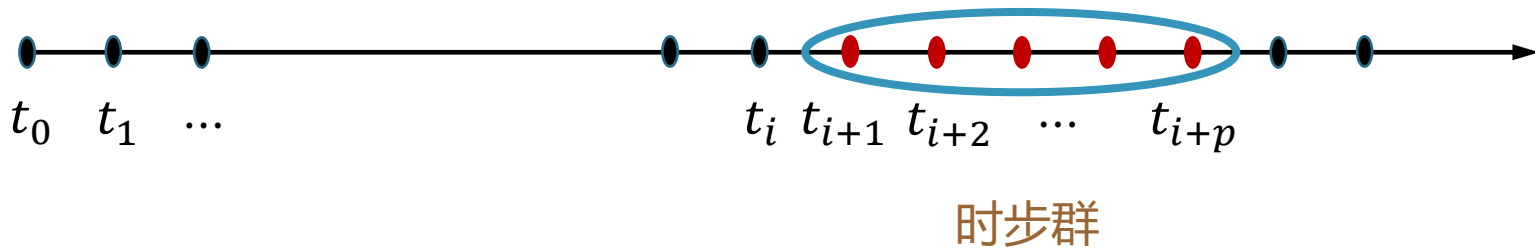
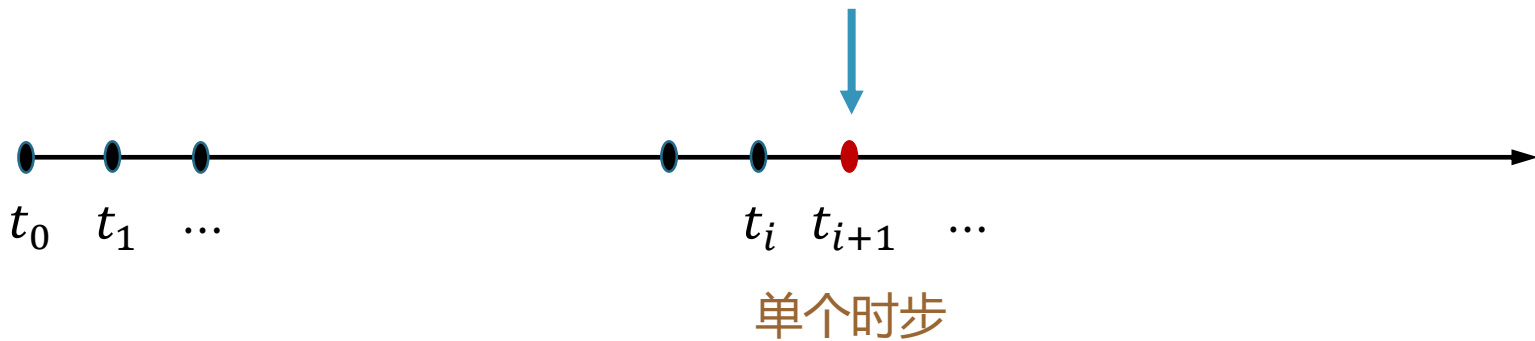


图5 体系第100 自由度位移响应对比  
Fig. 5 Comparison of the displacement responses of the DOF 100 in this system

表6 不同方法 CPU 时间对比  
Table 6 Comparison of CPU time with different methods

| $CPU^{(IDM, \Delta t=0.05s)}/s$ | $CPU^{(IDM, \Delta t=0.025s)}/s$ | $CPU^{(IDM, \Delta t=0.02s)}/s$ | $CPU^{(CDM, \Delta t=0.001s)}/s$ | $\frac{CPU^{(IDM, \Delta t=0.05s)}}{CPU^{(CDM, \Delta t=0.001s)}}$ | $\frac{CPU^{(IDM, \Delta t=0.025s)}}{CPU^{(CDM, \Delta t=0.001s)}}$ |
|---------------------------------|----------------------------------|---------------------------------|----------------------------------|--|---|
| 5.53                            | 9.92                             | 12.33                           | 14.01                            | 0.395  | 0.708   |

- 动力响应分析表现为矩阵乘法运算，且一次计算同时获得 $p$ 个时点的解答。





报告人：李鸿晶

邮箱：hjing@njtech.edu.cn

单位：南京工业大学 工程力学研究所

**谢谢！ 敬请批评指正！**

Thank You